



등록특허 10-2363604



(19) 대한민국특허청(KR)  
(12) 등록특허공보(B1)

(45) 공고일자 2022년02월15일  
(11) 등록번호 10-2363604  
(24) 등록일자 2022년02월11일

- (51) 국제특허분류(Int. Cl.)  
*C08F 8/32* (2006.01) *C08F 2/44* (2006.01)  
*C08L 23/12* (2006.01) *C08L 23/26* (2006.01)
- (52) CPC특허분류  
*C08F 8/32* (2013.01)  
*C08F 2/44* (2013.01)
- (21) 출원번호 10-2021-0084852  
(22) 출원일자 2021년06월29일  
심사청구일자 2021년06월29일
- (56) 선행기술조사문헌  
KR1020180018719 A\*  
(뒷면에 계속)

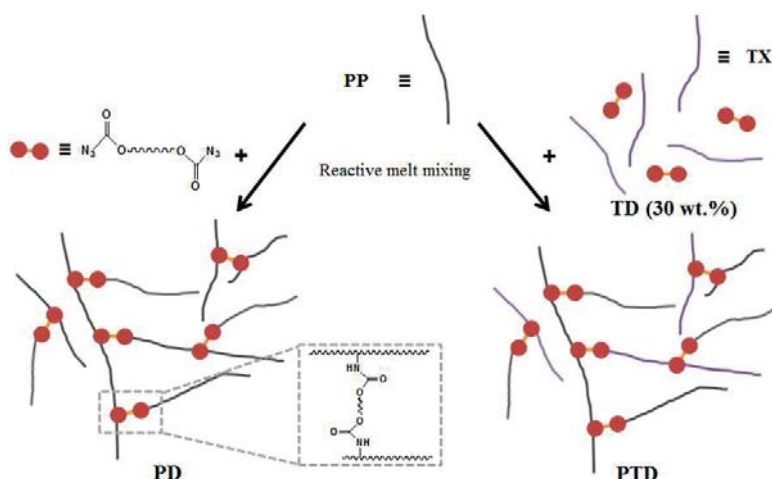
전체 청구항 수 : 총 15 항

(54) 발명의 명칭 아지도 포르메이트의 무촉매 C-H 삽입 반응을 통해 제조된 긴 사슬 가지 달린  $\alpha$ -올레핀 중합체 및 그의 제조방법**(57) 요 약**

아지도 포르메이트의 무촉매 C-H 삽입 반응을 통해 제조된 긴 사슬 가지 달린  $\alpha$ -올레핀 중합체 및 그의 제조방법이 개시된다. 상세하게는 양 말단에 아지도 포르메이트(Azido formate)를 갖는 화합물을 이용함으로써 촉매를 사용하지 않고, 원치 않는 고분자 분해와 가교를 유발하지 않으며 긴 사슬 가지 달린  $\alpha$ -올레핀 중합체를 제조할 수 있다.

**대 표 도** - 도1

Preparation of LCB-PP



## (52) CPC특허분류

*C08L 23/12* (2013.01)  
*C08L 23/26* (2013.01)  
*C08F 2500/09* (2013.01)

## (56) 선행기술조사문헌

European Polymer Journal 47 (2011) 2311-2320\*  
KR1020010103777 A  
JP1996502303 A  
KR1020030013429 A  
\*는 심사관에 의하여 인용된 문헌

## 이 발명을 지원한 국가연구개발사업

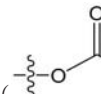
과제고유번호	1711127644
과제번호	2019R1A2C1003735
부처명	과학기술정보통신부
과제관리(전문)기관명	한국연구재단
연구사업명	개인기초연구(과기정통부)(R&D)
연구과제명	무촉매 C-H 결합 삽입을 통한 고분자 “증합 후 개질”의 새로운 플랫폼 방법론 연구
기여율	1/2
과제수행기관명	세종대학교
연구기간	2019.03.01 ~ 2022.02.28
이 발명을 지원한 국가연구개발사업	
과제고유번호	1345331641
과제번호	2020R1A6A1A03043435
부처명	교육부
과제관리(전문)기관명	한국연구재단
연구사업명	이공학학술연구기반구축(R&D)
연구과제명	하이브리드재료응용연구소
기여율	1/2
과제수행기관명	세종대학교
연구기간	2020.06.01 ~ 2022.02.28

공지예외적용 : 있음

## 명세서

### 청구범위

#### 청구항 1



(a) 양 밀단에 아지도 포르메이트기( $\text{---O---C(=O)---N}_3$ )를 갖는 화합물과  $\alpha$ -올레핀 공중합체를 혼합하고 교반하여 제1 혼합물을 제조하는 단계; 및

(b) 상기 제1 혼합물에  $\alpha$ -올레핀 중합체를 포함하는 제2 혼합물을 반응시켜 긴 사슬 가지 달린 주사슬을 포함하는 긴 사슬 가지 달린  $\alpha$ -올레핀 중합체를 제조하는 단계;를 포함하고,

상기  $\alpha$ -올레핀 중합체는 제1  $\alpha$ -올레핀 중합체 및 제2  $\alpha$ -올레핀 중합체를 포함하고,

상기 주사슬이 상기 제1  $\alpha$ -올레핀 중합체를 포함하고,

상기 긴 사슬 가지가 상기 제2  $\alpha$ -올레핀 중합체 및 상기  $\alpha$ -올레핀 공중합체로 이루어진 군으로부터 선택된 1 종 이상을 포함하고,

상기 단계 (a)가 50 °C 이상부터 130 °C 미만의 온도에서 수행되고,

상기 단계 (b)가 80 내지 300 °C의 온도에서 수행되는 것인, 긴 사슬 가지 달린  $\alpha$ -올레핀 중합체의 제조방법

#### 청구항 2

제1항에 있어서,

상기 제1 혼합물이 상기  $\alpha$ -올레핀 공중합체 100 중량부를 기준으로 상기 양 밀단에 아지도 포르메이트기를 갖는 화합물 0.1 내지 30 중량부를 포함하는 것을 특징으로 하는 긴 사슬 가지 달린  $\alpha$ -올레핀 중합체의 제조방법.

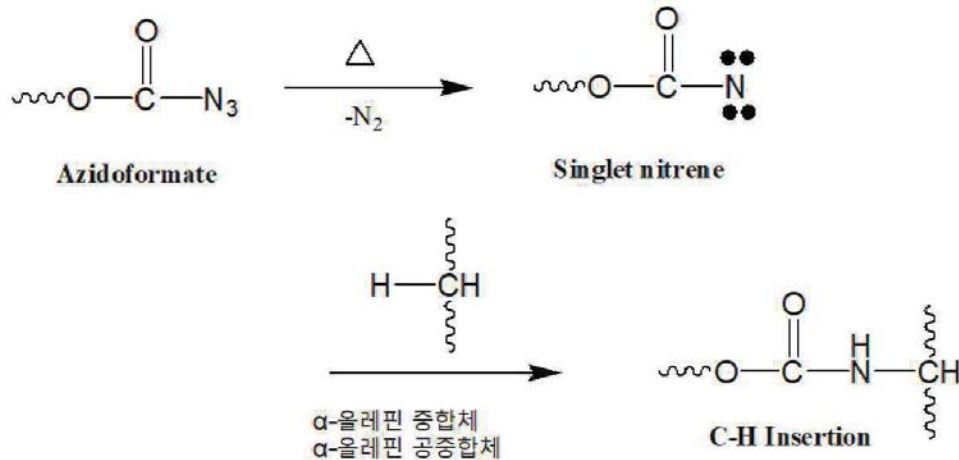
#### 청구항 3

제1항에 있어서,

상기 단계 (b)의 반응이 C-H 삽입 반응으로 수행되고,

상기 C-H 삽입 반응이 하기 반응식 1과 같이 아지도포르메이트의 질소가 싱글릿의 나이트렌(singlet nitrene)이 되고, 상기 싱글릿 나이트렌이  $\alpha$ -올레핀 공중합체 및/또는  $\alpha$ -올레핀 중합체의 C-H 결합의 수소와 치환되어 공유결합되는 것을 특징으로 하는 긴 사슬 가지 달린  $\alpha$ -올레핀 중합체의 제조방법.

[반응식 1]



**청구항 4**

제1항에 있어서,

상기 단계 (b)에서 제2 혼합물이 상기 제1 혼합물 100 중량부를 기준으로 상기  $\alpha$ -올레핀 중합체 50 내지 10,000 중량부를 포함하는 것을 특징으로 하는 긴 사슬 가지 달린  $\alpha$ -올레핀 중합체의 제조방법.

**청구항 5**

제1항에 있어서,

상기 단계 (b)에서, 상기 제2 혼합물이 산화방지제(antioxidant)를 추가로 포함하는 것을 특징으로 하는 긴 사슬 가지 달린  $\alpha$ -올레핀 중합체의 제조방법.

**청구항 6**

제1항에 있어서,

상기 긴 사슬 가지 달린  $\alpha$ -올레핀 중합체가

제1  $\alpha$ -올레핀 중합체를 포함하는 주사슬(main chain);

제2  $\alpha$ -올레핀 중합체 및  $\alpha$ -올레핀 공중합체로 이루어진 군으로부터 선택된 1종 이상을 포함하는 긴 사슬 가지 (long chain branch); 및

상기 주사슬과 상기 긴 사슬 가지를 공유결합으로 연결시켜주는 모이어티;를 포함하는 것을 특징으로 하는 긴 사슬 가지 달린  $\alpha$ -올레핀 중합체의 제조방법.

**청구항 7**

제6항에 있어서,

상기 모이어티가 아래 구조식 1로 표시되는 것을 특징으로 하는 긴 사슬 가지 달린  $\alpha$ -올레핀 중합체의 제조방법.

[구조식 1]

**청구항 8**

제7항에 있어서,

상기 모이어티의 질소 중 어느 하나가 상기 제1  $\alpha$ -올레핀 중합체의 C-H 결합의 수소와 치환되어 공유결합되고,

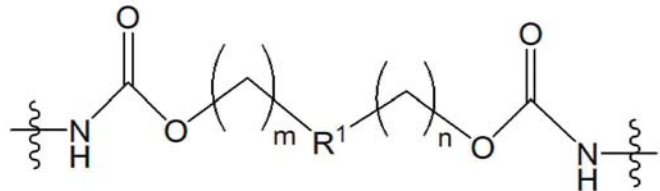
상기 모이어티의 질소 중 다른 하나가 상기 제2  $\alpha$ -올레핀 중합체 및  $\alpha$ -올레핀 공중합체로 이루어진 군으로부터 선택된 1종 이상의 C-H 결합의 수소와 치환되어 공유결합된 것을 특징으로 하는 긴 사슬 가지 달린  $\alpha$ -올레핀 중합체의 제조방법.

**청구항 9**

제7항에 있어서,

상기 구조식 1이 아래 구조식 2로 표시되는 것을 특징으로 하는 긴 사슬 가지 달린  $\alpha$ -올레핀 중합체의 제조방법.

[구조식 2]



상기 구조식 2에서,

$R^1$ 은 C1-C18 알킬렌, C2-C18 알케닐렌, C6-C20 아릴렌, C3-C20 헤테로아릴렌, C5-C20 시클로알킬렌, C3-C20 헤테로 시클로알킬렌, C6-C20 아르알킬렌, C6-C20 알크아릴렌 (alkarylene), C1-C18 알킬옥시렌, 산소원자, 황원자 또는 공유결합된 이들의 조합이고,

상기  $R^1$ 은 치환 또는 비치환되고, 치환에 해당하는 기는 C1-C18 알킬, C2-C18 알케닐, C6-C20 아릴, C6-C20 헤테로아릴, C5-C20 시클로알킬, C3-C20 헤�테로 시클로알킬, C6-C20 아르알킬렌, C6-C20 알크아릴 (alkaryl), C1-C18 알킬옥시 또는 공유결합된 이들의 조합이고,

$m$ 은 0 내지 50의 정수 중 어느 하나이고,

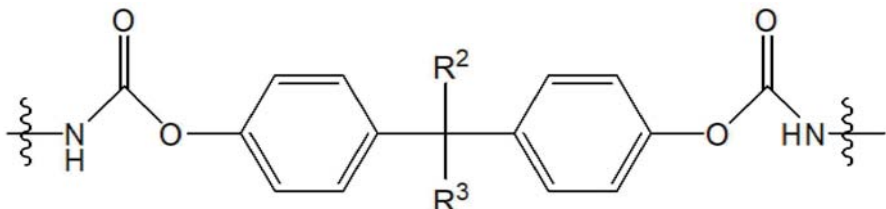
$n$ 은 0 내지 50의 정수 중 어느 하나이다.

#### 청구항 10

제9항에 있어서,

상기 구조식 2로 표시되는 모이어티가 아래 구조식 3으로 표시된 것을 특징으로 하는 긴 사슬 가지 달린  $\alpha$ -올레핀 중합체의 제조방법.

[구조식 3]



상기 구조식 3에서,

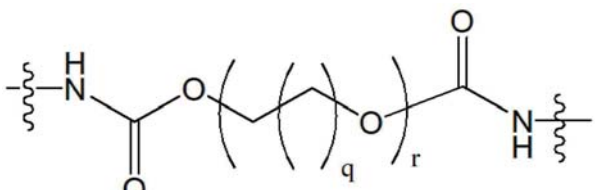
$R^2$  및  $R^3$ 는 각각 독립적으로 수소 원자 또는 C1 내지 C5의 알킬기이다.

#### 청구항 11

제9항에 있어서,

상기 구조식 2로 표시되는 모이어티가 아래 구조식 4로 표시된 것을 특징으로 하는 긴 사슬 가지 달린  $\alpha$ -올레핀 중합체의 제조방법.

[구조식 4]



상기 구조식 4에서,

$q$ 은 0 내지 50의 정수 중 어느 하나이고,

$r$ 은 1 내지 100의 정수 중 어느 하나이다.

## 청구항 12

제6항에 있어서,

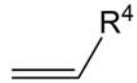
상기 긴 사슬 가지가 상기 주사슬에 그라프팅됨으로써 상기 주사슬이 개질되는 것을 특징으로 하는 긴 사슬 가지 달린  $\alpha$ -올레핀 중합체의 제조방법.

## 청구항 13

제6항에 있어서,

상기 제1  $\alpha$ -올레핀 중합체 또는 상기 제2  $\alpha$ -올레핀 중합체가 아래 구조식 5로 표시되는  $\alpha$ -올레핀 단량체가 중합된 것을 특징으로 하는 긴 사슬 가지 달린  $\alpha$ -올레핀 중합체의 제조방법.

[구조식 5]



상기 구조식 5에서,

$R^4$ 는 수소원자, C1-C18 알킬, C2-C18 알케닐, C6-C20 아릴, C3-C20 헤테로아릴, C5-C20 시클로알킬, C3-C20 헤테로시클로알킬, C6-C20 아르알킬, C6-C20 알크아릴(alkaryl), 또는 공유 결합된 이들의 조합이다.

## 청구항 14

제13항에 있어서,

상기 제1  $\alpha$ -올레핀 중합체 또는 상기 제2  $\alpha$ -올레핀 중합체가 폴리프로필렌, 고밀도 폴리에틸렌, 중밀도 폴리에틸렌, 저밀도 폴리에틸렌, 초고분자 폴리에틸렌, 폴리1-부텐, 폴리부타디엔, 폴리스티렌, 폴리이소프렌, 폴리이소부틸렌, 폴리클로로프렌, 폴리1-펜텐, 폴리이소펜텐, 폴리1-헥센, 폴리1-헵텐, 폴리이소헵텐, 폴리1-노넨, 폴리1-데켄, 폴리비닐시클로헥산, 폴리터부틸에틸렌 및 폴리다이엔으로 이루어진 군으로부터 선택된 1종 이상을 포함하는 것을 특징으로 하는 긴 사슬 가지 달린  $\alpha$ -올레핀 중합체의 제조방법.

## 청구항 15

제6항에 있어서,

상기  $\alpha$ -올레핀 공중합체가 프로필렌-1-부텐 공중합체, 프로필렌-1-펜텐 공중합체, 프로필렌-1-헥센 공중합체, 프로필렌-1-헵텐 공중합체, 프로필렌-1-옥텐 공중합체, 프로필렌-1-노넨 공중합체, 프로필렌-1-데켄 공중합체, 에틸렌-프로필렌 공중합체, 에틸렌-1-부텐 공중합체, 에틸렌-1-펜텐 공중합체, 에틸렌-1-헥센 공중합체, 에틸렌-1-헵텐 공중합체, 에틸렌-1-옥텐 공중합체, 에틸렌-1-노넨 공중합체, 에틸렌-1-데켄 공중합체, 스티렌-에틸렌 공중합체, 스티렌-프로필렌 공중합체, 스티렌-1-부텐 공중합체, 스티렌-1-펜텐 공중합체, 스티렌-1-헥센 공중합체, 스티렌-1-헵텐 공중합체, 스티렌-1-옥텐 공중합체, 스티렌-1-노넨 공중합체, 스티렌-1-데켄 공중합체, 스티렌-부타디엔-스티렌 블록 공중합체, 스티렌-에틸렌-부틸렌-스티렌(SEBS) 블록 공중합체, 스티렌-이소프렌-스티렌(SIS) 블록 공중합체, 스티렌-부타디엔 러버(styrene-butadiene rubber, SBR), 이소부틸렌-이소프렌 러버(IIR), 에틸렌 프로필렌 러버(EPR), 에틸렌-프로필렌-디엔 러버(EPDM), 프로필렌-에틸렌-1-부텐 공중합체, 프로필렌-에틸렌-1-펜텐 공중합체, 프로필렌-에틸렌-1-헥센 공중합체, 프로필렌-에틸렌-1-헵텐 공중합체, 프로필렌-에틸렌-1-옥텐 공중합체, 프로필렌-1-노넨 공중합체, 프로필렌-에틸렌-1-데肯 공중합체, 이소프렌-스티렌 공중합체 및 스티렌-에틸렌-프로필렌-스티렌 블록 공중합체(SEPS)로 이루어진 군으로부터 선택된 1종 이상을 포함하는 것을 특징으로 하는 긴 사슬 가지 달린  $\alpha$ -올레핀 중합체의 제조방법.

## 청구항 16

삭제

청구항 17

삭제

청구항 18

삭제

청구항 19

삭제

청구항 20

삭제

### 발명의 설명

#### 기술 분야

[0001]

본 발명은 아지도 포르메이트의 무촉매 C-H 삽입 반응을 통해 제조된 긴 사슬 가지 달린  $\alpha$ -올레핀 중합체 및 그의 제조방법에 관한 것으로, 상세하게는 아지도 포르메이트를 양 말단에 갖는 화합물을 이용하여 긴 사슬 가지 달린  $\alpha$ -올레핀 중합체를 제조함으로써 폴리올레핀을 개질시키는 방법에 관한 것이다.

#### 배경 기술

[0002]

폴리올레핀은 최근 세계 고분자 생산양의 55%를 차지할 정도로 넓은 범위에서 사용되는 상업적 고분자로서 대표적으로 polyethylene(PE), polypropylene(PP), ethylene-propylene elastomer(EPR) 및 ethylene-propylene-diene rubber(EPDM) 등을 예로 들 수 있다. 폴리올레핀의 뛰어난 화학적 안정성과 넓은 범위의 기계적 물성, 낮은 단가는 가공 또는 재활용을 용이하게 하여 타이어, 컨테이너, 호스, 범퍼 등에 사용되고 있다.

[0003]

폴리프로필렌의 대부분은 선형 사슬과 좁은 분자량분포를 가지고 있기 때문에, 상대적으로 약한 용융강도와 낮은 전단 박화(shear thinning) 특성을 가진다. 이러한 특성은 열, 밥포, 중공 성형 및 재활용 등 가공 공정의 적용이 어려워, 더 넓은 응용 가능성에 한계를 가진다. 따라서 이를 극복하기 위한 여러 가지 방법이 제시되고 있으며, 그 중 긴 가지 도입은 고분자의 얹힘(entanglement)을 높여 용융 특성을 크게 향상시키는 것으로 알려져 있다.

[0004]

폴리프로필렌의 긴 가지 도입 방법으로 in-situ polymerization, 고 에너지 조사 및 중합 후 개질과 같은 방법들이 연구되었다. in-situ polymerization는 비용, 색상 및 환경 문제로 인해 바람직하지 않은 금속 배위 촉매를 주로 사용하며, 고 에너지 조사는 폴리프로필렌의  $\beta$ -chain scission을 일으키는 라디칼을 생성한다. 중합 후 개질을 위한 유기과산화물(peroxide) 사용 또한 라디칼을 생성하여 원치 않는 고분자 분해와 가교를 유발하여 긴 가지 구조를 만드는데 제한적이다.

[0005]

따라서, 촉매를 사용하지 않으며 원치 않는 고분자 분해와 가교를 유발하지 않는 긴 사슬 가지 달린 폴리올레핀의 제조방법에 관한 연구가 필요하다.

#### 발명의 내용

##### 해결하려는 과제

[0006]

본 발명의 목적은 상기 문제점을 해결하기 위한 것으로, 개질 대상 고분자의 사슬 절단, 가교와 같은 부반응을 억제할 수 있고, 촉매를 사용하지 않는 폴리올레핀의 개질방법을 제공하는데 있다.

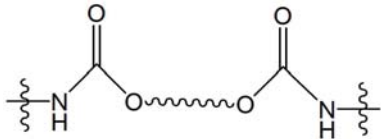
##### 과제의 해결 수단

[0007]

본 발명의 일 측면에 따르면, 제1  $\alpha$ -올레핀 중합체를 포함하는 주사슬(main chain); 제2  $\alpha$ -올레핀 중합체 및  $\alpha$ -올레핀 공중합체로 이루어진 군으로부터 선택된 1종 이상을 포함하는 긴 사슬 가지(long chain branch); 및 상기 주사슬과 상기 긴 사슬 가지를 공유결합으로 연결시켜주는 모이어티;를 포함하는 긴 사슬 가지 달린  $\alpha$ -올레핀 중합체가 제공된다.

[0008] 또한, 상기 모이어티가 아래 구조식 1로 표시되는 것일 수 있다.

[0009] [구조식 1]

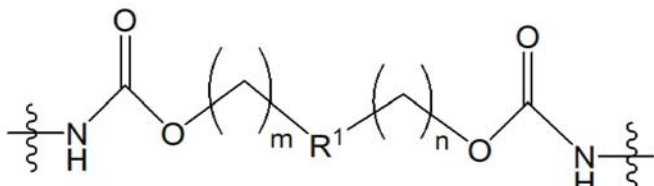


[0010]

[0011] 또한, 상기 모이어티의 질소 중 어느 하나가 상기 제1  $\alpha$ -올레핀 중합체의 C-H 결합의 수소와 치환되어 공유결합되고, 상기 모이어티의 질소 중 다른 하나가 상기 제2  $\alpha$ -올레핀 중합체 및  $\alpha$ -올레핀 공중합체로 이루어진 군으로부터 선택된 1종 이상의 C-H 결합의 수소와 치환되어 공유결합된 것일 수 있다.

[0012] 또한, 상기 구조식 1이 아래 구조식 2로 표시되는 것일 수 있다.

[0013] [구조식 2]



[0014]

[0015] 상기 구조식 2에서,

[0016]  $R^1$ 은 C1-C18 알킬렌, C2-C18 알케닐렌, C6-C20 아릴렌, C3-C20 헤테로아릴렌, C5-C20 시클로알킬렌, C3-C20 헤테로 시클로알킬렌, C6-C20 아르알킬렌, C6-C20 알크아릴렌 (alkarylene), C1-C18 알킬옥시렌, 산소원자, 황원자 또는 공유결합된 이들의 조합이고,

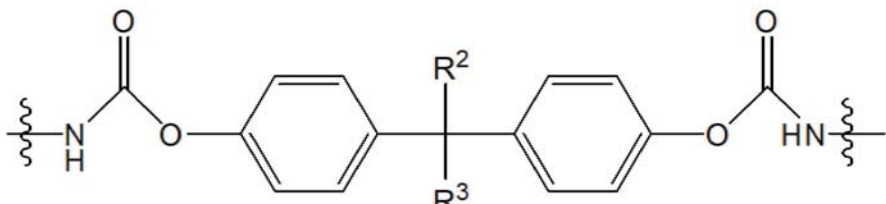
[0017] 상기  $R^1$ 은 치환 또는 비치환되고, 치환에 해당하는 기는 C1-C18 알킬, C2-C18 알케닐, C6-C20 아릴, C6-C20 헤테로아릴, C5-C20 시클로알킬, C3-C20 헤테로 시클로알킬, C6-C20 아르알킬렌, C6-C20 알크아릴 (alkaryl), C1-C18 알킬옥시 또는 공유결합된 이들의 조합이고,

[0018]  $m$ 은 0 내지 50의 정수 중 어느 하나이고,

[0019]  $n$ 은 0 내지 50의 정수 중 어느 하나이다.

[0020] 또한, 상기 구조식 2로 표시되는 모이어티가 아래 구조식 3으로 표시된 것일 수 있다.

[0021] [구조식 3]



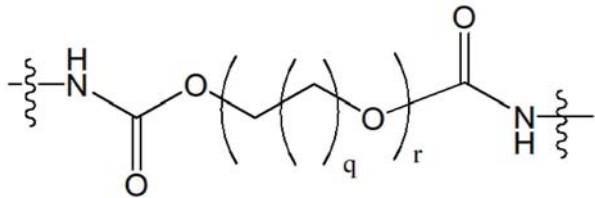
[0022]

[0023] 상기 구조식 3에서,

[0024]  $R^2$  및  $R^3$ 는 각각 독립적으로 수소 원자 또는 C1 내지 C5의 알킬기이다.

[0025] 또한, 상기 구조식 2로 표시되는 모이어티가 아래 구조식 4로 표시된 것일 수 있다.

[0026] [구조식 4]



[0027]

상기 구조식 4에서,

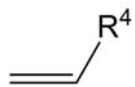
q은 0 내지 50의 정수 중 어느 하나이고,

r은 1 내지 100의 정수 중 어느 하나이다.

또한, 상기 긴 사슬 가지가 상기 주사슬에 그라프팅됨으로써 상기 주사슬이 개질되는 것일 수 있다.

또한, 상기 제1  $\alpha$ -올레핀 중합체 또는 상기 제2  $\alpha$ -올레핀 중합체가 아래 구조식 5로 표시되는  $\alpha$ -올레핀 단량체가 중합된 것일 수 있다.

[구조식 5]



[0034]

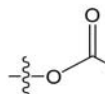
상기 구조식 5에서,

 $R^4$ 는 수소원자, C1-C18 알킬, C2-C18 알케닐, C6-C20 아릴, C3-C20 헤테로아릴, C5-C20 시클로알킬, C3-C20 헤테로시클로알킬, C6-C20 아르알킬, C6-C20 알크아릴(alkaryl), 또는 공유 결합된 이들의 조합이다.

[0037]

또한, 상기 제1  $\alpha$ -올레핀 중합체 또는 상기 제2  $\alpha$ -올레핀 중합체가 폴리프로필렌, 고밀도 폴리에틸렌, 중밀도 폴리에틸렌, 저밀도 폴리에틸렌, 초고분자 폴리에틸렌, 폴리1-부텐, 폴리부타디엔, 폴리스티렌, 폴리이소프렌, 폴리이소부틸렌, 폴리클로로프렌, 폴리1-펜텐, 폴리이소펜텐, 폴리1-헥센, 폴리1-헵텐, 폴리이소헵텐, 폴리1-노넨, 폴리1-데켄, 폴리비닐시클로헥산, 폴리터부틸에틸렌 및 폴리다이엔으로 이루어진 군으로부터 선택된 1종 이상을 포함할 수 있다.

[0038]

또한, 상기  $\alpha$ -올레핀 공중합체가 프로필렌-1-부텐 공중합체, 프로필렌-1-펜텐 공중합체, 프로필렌-1-헥센 공중합체, 프로필렌-1-헵텐 공중합체, 프로필렌-1-옥텐 공중합체, 프로필렌-1-노넨 공중합체, 프로필렌-1-데켄 공중합체, 에틸렌-프로필렌 공중합체, 에틸렌-1-부텐 공중합체, 에틸렌-1-펜텐 공중합체, 에틸렌-1-헥센 공중합체, 에틸렌-1-헵텐 공중합체, 에틸렌-1-옥텐 공중합체, 에틸렌-1-노넨 공중합체, 에틸렌-1-데켄 공중합체, 스티렌-에틸렌 공중합체, 스티렌-프로필렌 공중합체, 스티렌-1-부텐 공중합체, 스티렌-1-펜텐 공중합체, 스티렌-1-헥센 공중합체, 스티렌-1-헵텐 공중합체, 스티렌-1-옥텐 공중합체, 스티렌-1-노넨 공중합체, 스티렌-1-데켄 공중합체, 스티렌-부타디엔-스티렌 블록 공중합체, 스티렌-에틸렌-부틸렌-스티렌(SEBS) 블록 공중합체, 스티렌-이소프렌-스티렌(SIS) 블록 공중합체, 스티렌-부타디엔 러버(styrene-butadiene rubber, SBR), 이소부틸렌-이소프렌 러버(IIR), 에틸렌 프로필렌 러버(EPR), 에틸렌-프로필렌-디엔 러버(EPDM), 프로필렌-에틸렌-1-부텐 공중합체, 프로필렌-에틸렌-1-펜텐 공중합체, 프로필렌-에틸렌-1-헥센 공중합체, 프로필렌-에틸렌-1-헵텐 공중합체, 프로필렌-에틸렌-1-옥텐 공중합체, 프로필렌-1-노넨 공중합체, 프로필렌-에틸렌-1-데肯 공중합체, 이소프렌-스티렌 공중합체 및 스티렌-에틸렌-프로필렌-스티렌 블록 공중합체(SEPS)로 이루어진 군으로부터 선택된 1종 이상을 포함할 수 있다.

[0039]

본 발명의 다른 하나의 측면에 따르면, (1) 양 말단에 아지도 포르메이트기(-N(H)-O-C(=O)-)를 갖는 화합물과  $\alpha$ -올레핀 중합체를 포함하는 혼합물을 반응시켜 긴 사슬 가지 달린 주사슬을 제조하는 단계;를 포함하고, 상기  $\alpha$ -올레핀 중합체는 제1  $\alpha$ -올레핀 중합체 및 제2  $\alpha$ -올레핀 중합체를 포함하고, 상기 주사슬이 상기 제1  $\alpha$ -올레핀 중합체를 포함하고, 상기 긴 사슬 가지가 상기 제2  $\alpha$ -올레핀 중합체를 포함하는 것인, 긴 사슬 가지 달린  $\alpha$ -올레핀 중합체의 제조방법이 제공된다.

또한, 상기 단계가 80 °C 이상부터 300 °C 미만의 온도에서 수행될 수 있다.

[0041] 또한, 상기 혼합물이 상기  $\alpha$ -올레핀 중합체 100 중량부를 기준으로 상기 양 말단에 아지도 포르메이트기를 갖는 화합물 0.01 내지 30 중량부를 포함할 수 있다.

[0042] 또한, 상기 혼합물이 산화방지제(antioxidant)를 추가로 포함할 수 있다.

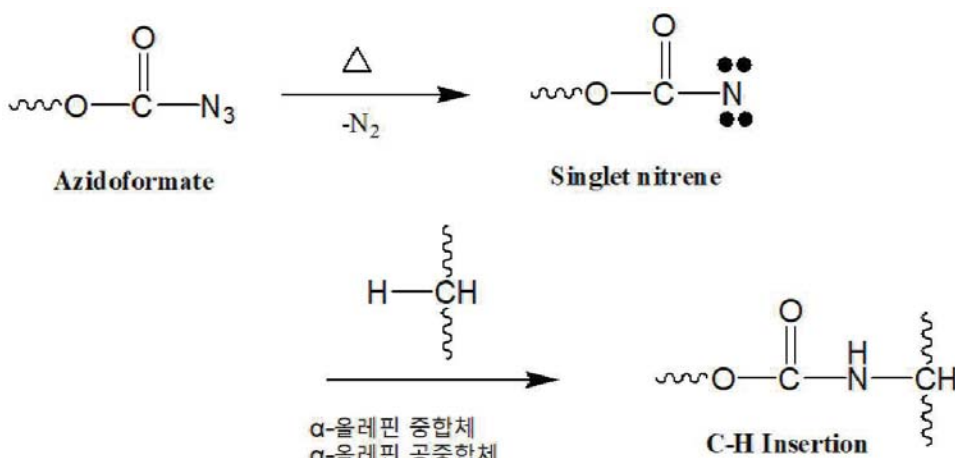
[0044] 본 발명의 또 다른 하나의 측면에 따르면, (a) 양 말단에 아지도 포르메이트기( $\text{---}\ddot{\text{O}}\text{---C=O---N}_3$ )를 갖는 화합물과  $\alpha$ -올레핀 공중합체를 혼합하고 교반하여 제1 혼합물을 제조하는 단계; 및 (b) 상기 제1 혼합물에  $\alpha$ -올레핀 중합체를 포함하는 제2 혼합물을 반응시켜 긴 사슬 가지 달린 주사슬을 제조하는 단계;를 포함하고, 상기  $\alpha$ -올레핀 중합체는 제1  $\alpha$ -올레핀 중합체 및 제2  $\alpha$ -올레핀 중합체를 포함하고, 상기 주사슬이 상기 제1  $\alpha$ -올레핀 중합체를 포함하고, 상기 긴 사슬 가지가 상기 제2  $\alpha$ -올레핀 중합체 및 상기  $\alpha$ -올레핀 공중합체로 이루어진 군으로부터 선택된 1종 이상을 포함하는 것인, 긴 사슬 가지 달린  $\alpha$ -올레핀 중합체의 제조방법이 제공된다.

[0045] 또한, 상기 단계 (a)가 50 °C 이상부터 130 °C 미만의 온도에서 수행될 수 있고, 상기 단계 (b)가 80 내지 300 °C의 온도에서 수행될 수 있다.

[0046] 또한, 상기 제1 혼합물이 상기  $\alpha$ -올레핀 공중합체 100 중량부를 기준으로 상기 양 말단에 아지도 포르메이트기를 갖는 화합물 0.1 내지 30 중량부를 포함할 수 있다.

[0047] 또한, 상기 단계 (b)의 반응이 C-H 삽입 반응으로 수행되고, 상기 C-H 삽입 반응이 하기 반응식 1과 같이 아지도포메이트의 질소가 싱글릿의 나이트렌(singlet nitrene)이 되고, 상기 싱글릿 나이트렌이  $\alpha$ -올레핀 공중합체 및/또는  $\alpha$ -올레핀 중합체의 C-H 결합의 수소와 치환되어 공유결합되는 것일 수 있다.

[0048] [반응식 1]



[0049]

[0050] 또한, 상기 단계 (b)에서 제2 혼합물이 상기 제1 혼합물 100 중량부를 기준으로 상기  $\alpha$ -올레핀 중합체 50 내지 10,000 중량부를 포함할 수 있다.

[0051] 또한, 상기 단계 (b)에서, 상기 제2 혼합물이 산화방지제(antioxidant)를 추가로 포함할 수 있다.

### 발명의 효과

[0052] 본 발명의  $\alpha$ -올레핀 중합체는 긴 사슬 가지가 달림으로써 용융 특성이 우수한 효과가 있다.

[0053] 본 발명은 양 말단에 아지도 포르메이트(Azido formate)를 갖는 화합물을 이용함으로써 촉매를 사용하지 않고, 원치 않는 고분자 분해와 가교를 유발하지 않으며 긴 사슬 가지가 달린  $\alpha$ -올레핀 중합체를 제조할 수 있다.

[0054] 본 발명은 양 말단에 아지도 포르메이트를 갖는 화합물과  $\alpha$ -올레핀 중합체를 반응시킴으로써 부분적으로 겔(gel)을 형성하지 않으며 긴 사슬 가지가 달린  $\alpha$ -올레핀 중합체를 제조할 수 있다.

[0055] 본 발명은 양 말단에 아지도 포르메이트를 갖는 화합물과  $\alpha$ -올레핀 공중합체를 먼저 혼합한 후  $\alpha$ -올레핀 중합체와 반응시킴으로써 부분적으로 겔(gel)을 형성하지 않으며 긴 사슬 가지가 달린  $\alpha$ -올레핀 중합체를 제조할 수 있다.

## 도면의 간단한 설명

[0056]

이 도면들은 본 발명의 예시적인 실시예를 설명하는데 참조하기 위함이므로, 본 발명의 기술적 사상을 첨부한 도면에 한정해서 해석하여서는 아니 된다.

도 1은 본 발명 하나의 실시예에 따라 긴 사슬 가지 달린  $\alpha$ -올레핀 중합체의 제조방법 개략도를 나타낸 것이다.

도 2a는 제조예 1에 따라 제조된 DAF의 FT-IR 분석 결과를 나타낸 것이다.

도 2b는 제조예 1에 따라 제조된 DAF의  $^1\text{H-NMR}$  분석 결과를 나타낸 것이다.

도 2c는 제조예 1에 따라 제조된 DAF의 Q-TOF MS 그래프를 나타낸 것이다.

도 3a는 제조예 2에 따라 제조된 GDAF의 FT-IR 분석 결과를 나타낸 것이다.

도 3b는 제조예 2에 따라 제조된 GDAF의  $^1\text{H-NMR}$  분석 결과를 나타낸 것이다.

도 3c는 제조예 2에 따라 제조된 GDAF의 Q-TOF MS 그래프를 나타낸 것이다.

도 4a는 제조예 1에 따라 제조된 DAF의 DSC 측정 결과를 나타낸 것이다.

도 4b는 제조예 2에 따라 제조된 GDAF의 DSC 측정 결과를 나타낸 것이다.

도 5a는 프로필렌  $\alpha$ -올레핀 공중합체(TX), 폴리프로필렌(PP) 및 비교예 1(PT)의 DSC heating 곡선을 나타낸 것이다.

도 5b는 프로필렌  $\alpha$ -올레핀 공중합체(TX), 폴리프로필렌(PP) 및 비교예 1(PT)의 DSC cooling 곡선을 나타낸 것이다.

도 6은 프로필렌  $\alpha$ -올레핀 공중합체(TX), 제조예 3(TD20) 및 실시예 3(PTD6)의 FT-IR 분석 결과를 나타낸 것이다.

도 7a는 비교예 1(PT) 및 실시예 3(PTD6)의 고온 GPC 곡선을 나타낸 것이다.

도 7b는 폴리프로필렌(PP), 비교예 1(PT), 실시예 1(PTD1) 및 실시예 3(PTD6)의 melt index 값을 나타낸 것이다.

도 8a는 폴리프로필렌, 비교예 1(PT), 실시예 1 내지 3 및 실시예 5의 DSC heating 곡선을 나타낸 것이다.

도 8b는 폴리프로필렌, 비교예 1(PT), 실시예 1 내지 3 및 실시예 5의 DSC cooling 곡선을 나타낸 것이다.

도 9a는 폴리프로필렌, 비교예 1(PT), 실시예 1 내지 3, 실시예 5 및 실시예 8(PD1)의 각 주파수에 따른 복합점도( $n^*$ ) 거동을 나타낸 것이다.

도 9b는 비교예 1(PT), 실시예 1 내지 3 및 실시예 5의 zero shear viscosity를 나타낸 것이다.

도 9c는 폴리프로필렌(PP), 비교예 1(PT), 실시예 1 내지 3 및 실시예 5의 저장 모듈러스( $G'$ ) 및 손실 모듈러스( $G''$ )를 나타낸 것이다.

도 10a는 폴리프로필렌(PP), 비교예 1(PT), 실시예 1 내지 3 및 실시예 5의 손실 탄젠트 값을 나타낸 것이다.

도 10b는 폴리프로필렌(PP), 비교예 1(PT), 실시예 1 내지 3 및 실시예 5의 van Gurp-Palmen plot을 나타낸 것이다.

도 11은 실시예 1(PTD1) 및 실시예 7(PTGD1)의 각 주파수에 따른 복합점도( $n^*$ ) 거동을 나타낸 것이다.

## 발명을 실시하기 위한 구체적인 내용

[0057]

이하, 본 발명이 속하는 기술 분야에서 통상의 지식을 가진 자가 용이하게 실시할 수 있도록 첨부된 도면을 참조하여 본 발명의 실시예를 상세히 설명하도록 한다.

[0058]

그러나, 이하의 설명은 본 발명을 특정한 실시 형태에 대해 한정하려는 것이 아니며, 본 발명을 설명함에 있어서 관련된 공지 기술에 대한 구체적인 설명이 본 발명의 요지를 흐릴 수 있다고 판단되는 경우 그 상세한 설명

을 생략한다.

[0059] 본원에서 사용한 용어는 단지 특정한 실시예를 설명하기 위해 사용된 것으로, 본 발명을 한정하려는 의도가 아니다. 단수의 표현은 문맥상 명백하게 다르게 뜻하지 않는 한, 복수의 표현을 포함한다. 본 출원에서, "포함하다" 또는 "가지다" 등의 용어는 명세서상에 기재된 특징, 숫자, 단계, 동작, 구성요소, 또는 이들을 조합한 것이 존재함을 지정하려는 것이지, 하나 또는 그 이상의 다른 특징들이나 숫자, 단계, 동작, 구성요소, 또는 이들을 조합한 것들의 존재 또는 부가 가능성을 미리 배제하지 않는 것으로 이해되어야 한다.

[0060] 또한, 이하에서 사용될 제1, 제2 등과 같이 서수를 포함하는 용어는 다양한 구성요소들을 설명하는데 사용될 수 있지만, 상기 구성요소들은 상기 용어들에 의해 한정되지는 않는다. 상기 용어들은 하나의 구성요소를 다른 구성요소로부터 구별하는 목적으로만 사용된다. 예를 들어, 본 발명의 권리 범위를 벗어나지 않으면서 제1 구성요소는 제2 구성요소로 명명될 수 있고, 유사하게 제2 구성요소도 제1 구성요소로 명명될 수 있다.

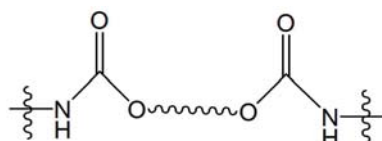
[0061] 또한, 어떤 구성요소가 다른 구성요소 상에 "형성되어" 있다거나 "적층되어" 있다고 언급된 때에는, 그 다른 구성요소의 표면 상의 전면 또는 일면에 직접 부착되어 형성되어 있거나 적층되어 있을 수도 있지만, 중간에 다른 구성요소가 더 존재할 수도 있다고 이해되어야 할 것이다.

[0063] 이하, 본 발명의 아지도 포르메이트의 무촉매 C-H 삽입 반응을 통해 제조된 긴 사슬 가지 달린  $\alpha$ -올레핀 중합체 및 그의 제조방법에 대하여 상세히 설명하기로 한다. 다만, 이는 예시로서 제시되는 것으로, 이에 의해 본 발명이 제한되지는 않으며 본 발명은 후술할 청구범위의 범주에 의해 정의될 뿐이다.

[0065] 본 발명은 제1  $\alpha$ -올레핀 중합체를 포함하는 주사슬(main chain); 제2  $\alpha$ -올레핀 중합체 및  $\alpha$ -올레핀 공중합체로 이루어진 군으로부터 선택된 1종 이상을 포함하는 긴 사슬 가지(long chain branch); 및 상기 주사슬과 상기 긴 사슬 가지를 공유결합으로 연결시켜주는 모이어티;를 포함하는 긴 사슬 가지 달린  $\alpha$ -올레핀 중합체를 제공한다.

[0066] 또한, 상기 모이어티가 아래 구조식 1로 표시되는 것일 수 있다.

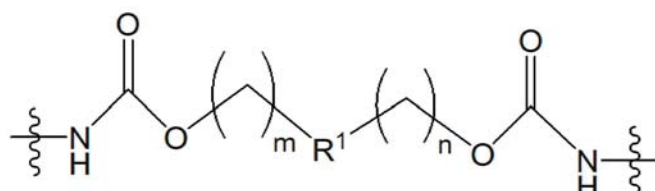
[구조식 1]



[0068] 또한, 상기 모이어티의 질소 중 어느 하나가 상기 제1  $\alpha$ -올레핀 중합체의 C-H 결합의 수소와 치환되어 공유결합되고, 상기 모이어티의 질소 중 다른 하나가 상기 제2  $\alpha$ -올레핀 중합체 및  $\alpha$ -올레핀 공중합체로 이루어진 군으로부터 선택된 1종 이상의 C-H 결합의 수소와 치환되어 공유결합된 것일 수 있다.

[0070] 또한, 상기 구조식 1이 아래 구조식 2로 표시되는 것일 수 있다.

[구조식 2]



[0072] 상기 구조식 2에서,

[0074]  $R^1$ 은 C1-C18 알킬렌, C2-C18 알케닐렌, C6-C20 아릴렌, C3-C20 헤테로아릴렌, C5-C20 시클로알킬렌, C3-C20 헤테로 시클로알킬렌, C6-C20 아르알킬렌, C6-C20 알크아릴렌(alkarylene), C1-C18 알킬옥시렌, 산소원자, 황원자 또는 공유결합된 이들의 조합이고,

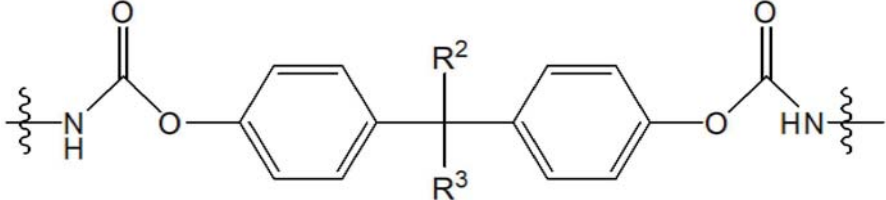
[0075] 상기  $R^1$ 은 치환 또는 비치환되고, 치환에 해당하는기는 C1-C18 알킬, C2-C18 알케닐, C6-C20 아릴, C6-C20 헤테로아릴, C5-C20 시클로알킬, C3-C20 헤테로 시클로알킬, C6-C20 아르알킬렌, C6-C20 알크아릴(alkaryl), C1-C18 알킬옥시 또는 공유결합된 이들의 조합이고,

[0076] m은 0 내지 50의 정수 중 어느 하나이고,

[0077] n은 0 내지 50의 정수 중 어느 하나이다.

[0078] 또한, 상기 구조식 2로 표시되는 모이어티가 아래 구조식 3으로 표시된 것일 수 있다.

[0079] [구조식 3]



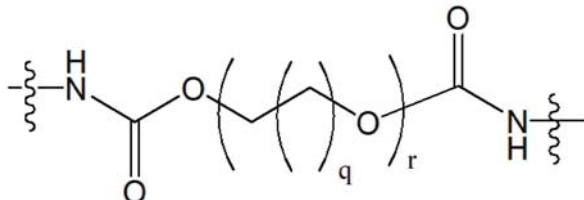
[0080]

[0081] 상기 구조식 3에서,

[0082] R<sup>2</sup> 및 R<sup>3</sup>는 각각 독립적으로 수소 원자 또는 C1 내지 C5의 알킬기이다.

[0083] 또한, 상기 구조식 2로 표시되는 모이어티가 아래 구조식 4로 표시된 것일 수 있다.

[0084] [구조식 4]



[0085]

[0086] 상기 구조식 4에서,

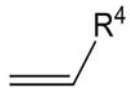
[0087] q은 0 내지 50의 정수 중 어느 하나이고,

[0088] r은 1 내지 100의 정수 중 어느 하나이다.

[0089] 또한, 상기 긴 사슬 가지가 상기 주사슬에 그라프팅됨으로써 상기 주사슬이 개질되는 것일 수 있다.

[0090] 또한, 상기 제1 α-올레핀 중합체 또는 상기 제2 α-올레핀 중합체가 아래 구조식 5로 표시되는 α-올레핀 단량체가 중합된 것일 수 있다.

[0091] [구조식 5]



[0092]

[0093] 상기 구조식 5에서,

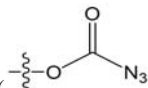
[0094] R<sup>4</sup>는 수소원자, C1-C18 알킬, C2-C18 알케닐, C6-C20 아릴, C3-C20 헤테로아릴, C5-C20 시클로알킬, C3-C20 헤테로시클로알킬, C6-C20 아르알킬, C6-C20 알크아릴(alkaryl), 또는 공유 결합된 이들의 조합이다.

[0095] 또한, 상기 제1 α-올레핀 중합체 또는 상기 제2 α-올레핀 중합체가 폴리프로필렌, 고밀도 폴리에틸렌, 중밀도 폴리에틸렌, 저밀도 폴리에틸렌, 초고분자 폴리에틸렌, 폴리1-부텐, 폴리부타디엔, 폴리스티렌, 폴리이소프렌, 폴리이소부틸렌, 폴리클로로프렌, 폴리1-펜텐, 폴리이소펜텐, 폴리1-헥센, 폴리1-헵텐, 폴리이소헵텐, 폴리1-노넨, 폴리1-데켄, 폴리비닐시클로헥산, 폴리터부틸에틸렌 및 폴리다이엔으로 이루어진 군으로부터 선택된 1종 이상을 포함할 수 있고, 바람직하게는 폴리프로필렌을 포함할 수 있다.

[0096] 또한, 상기 α-올레핀 공중합체가 프로필렌-1-부텐 공중합체, 프로필렌-1-펜텐 공중합체, 프로필렌-1-헥센 공중합체, 프로필렌-1-헵텐 공중합체, 프로필렌-1-옥텐 공중합체, 프로필렌-1-노넨 공중합체, 프로필렌-1-데켄 공중합체, 에틸렌-프로필렌 공중합체, 에틸렌-1-부텐 공중합체, 에틸렌-1-펜텐 공중합체, 에틸렌-1-헥센 공중합체,

에틸렌-1-헵텐 공중합체, 에틸렌-1-옥тен 공중합체, 에틸렌-1-노넨 공중합체, 에틸렌-1-데켄 공중합체, 스티렌-에틸렌 공중합체, 스티렌-프로필렌 공중합체, 스티렌-1-부텐 공중합체, 스티렌-1-펜텐 공중합체, 스티렌-1-헥센 공중합체, 스티렌-1-헵텐 공중합체, 스티렌-1-옥тен 공중합체, 스티렌-1-노넨 공중합체, 스티렌-1-데켄 공중합체, 스티렌-부타디엔-스티렌 블록 공중합체, 스티렌-에틸렌-부틸렌-스티렌(SEBS) 블록 공중합체, 스티렌-이소프렌-스티렌(SIS) 블록 공중합체, 스티렌-부타디엔 러버(styrene-butadiene rubber, SBR), 이소부틸렌-이소프렌 러버(IIR), 에틸렌 프로필렌 러버(EPR), 에틸렌-프로필렌-디엔 러버(EPDM), 프로필렌-에틸렌-1-부텐 공중합체, 프로필렌-에틸렌-1-펜텐 공중합체, 프로필렌-에틸렌-1-헥센 공중합체, 프로필렌-에틸렌-1-헵텐 공중합체, 프로필렌-에틸렌-1-옥тен 공중합체, 프로필렌-1-노넨 공중합체, 프로필렌-에틸렌-1-데켄 공중합체, 이소프렌-스티렌 공중합체 및 스티렌-에틸렌-프로필렌-스티렌 블록 공중합체(SEPS)로 이루어진 군으로부터 선택된 1종 이상을 포함할 수 있다.

[0098] 도 1은 본 발명 하나의 실시예에 따라 긴 사슬 가지 달린  $\alpha$ -올레핀 중합체의 제조방법 개략도를 나타낸 것이다.



[0099] 도 1을 참고하면, 본 발명은 (1) 양 말단에 아지도 포르메이트기( $\text{---}\ddot{\text{s}}\text{---O---C=O}$ )를 갖는 화합물과  $\alpha$ -올레핀 중합체를 포함하는 혼합물을 반응시켜 긴 사슬 가지 달린 주사슬을 제조하는 단계;를 포함하고, 상기  $\alpha$ -올레핀 중합체는 제1  $\alpha$ -올레핀 중합체 및 제2  $\alpha$ -올레핀 중합체를 포함하고, 상기 주사슬이 상기 제1  $\alpha$ -올레핀 중합체를 포함하고, 상기 긴 사슬 가지가 상기 제2  $\alpha$ -올레핀 중합체를 포함하는 것인, 긴 사슬 가지 달린  $\alpha$ -올레핀 중합체의 제조방법을 제공한다.

[0100] 또한, 상기 단계 (1)이 80 °C 이상부터 300 °C 미만의 온도에서 수행될 수 있고, 바람직하게는 150 내지 200 °C, 보다 바람직하게는 160 내지 190 °C의 온도에서 수행될 수 있다. 상기 단계가 80 °C 미만의 온도에서 수행될 경우 양 말단에 아지도 포르메이트기를 갖는 화합물의 아지도 포르메이트기가 분해하지 않아 C-H 삽입 반응이 일어나지 않아 긴 사슬 가지 달린  $\alpha$ -올레핀 중합체를 제조할 수 없으므로 바람직하지 않고, 300 °C를 초과할 경우  $\alpha$ -올레핀 중합체가 산화반응으로 분해변성되거나 아지도 포르메이트기의 분해가 빠르게 일어나 니트렌-니트レン 반응을 일으켜 반응에 참여하는 반응기 수가 줄어 온도 상승에 따른 효과가 미미하여 바람직하지 않다.

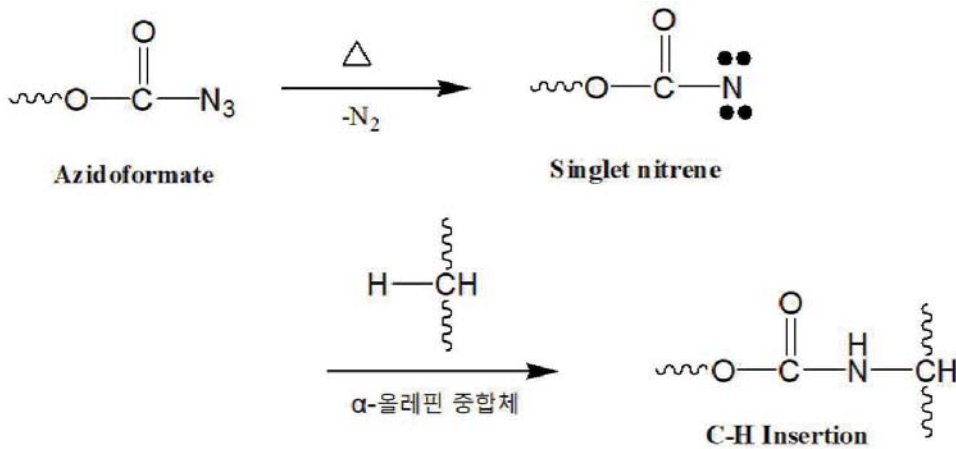
[0101] 또한, 상기 혼합물이 상기  $\alpha$ -올레핀 중합체 100 중량부 기준으로 상기 양 말단에 아지도 포르메이트기를 갖는 화합물 0.01 내지 30 중량부를 포함할 수 있고, 바람직하게는 0.01 내지 20 중량부, 보다 바람직하게는 0.1 내지 10 중량부를 포함할 수 있다. 상기 양 말단에 아지도 포르메이트기를 갖는 화합물이 0.01 중량부 미만으로 포함될 경우  $\alpha$ -올레핀 중합체를 포함하는 주사슬에 긴 사슬 가지가 충분히 연결되지 않을 수 있어 바람직하지 않고, 30 중량부를 초과할 경우 긴 사슬 가지를 형성하는 것이 아니라 가교된(crosslinked)  $\alpha$ -올레핀 중합체를 형성할 수 있으므로 바람직하지 않다.

[0102] 또한, 열이 가해졌을 때 사슬 절단이 일어날 수 있는 가능성이 있어 상기 혼합물이 산화방지제(antioxidant)를 추가로 포함할 수 있다.

[0103] 또한, 상기 반응이 C-H 삽입 반응으로 수행되고, 상기 C-H의 삽입 반응이 하기 반응식 2와 같이 아지도 포르메이트의 질소가 싱글릿의 나이트렌(singlet nitrene)이 되고, 상기 싱글릿 나이트렌이  $\alpha$ -올레핀 중합체의 C-H 결합의 수소와 치환되어 공유결합되는 것이다.

[0104]

[반응식 2]



[0105]

[0107]

또 다른 방법으로는, 도 1을 참고하면, 본 발명은 (a) 양 말단에 아지도 포르메이트기( $\sim\text{O}-\text{C}(=\text{O})-\text{N}_3$ )를 갖는 화합물과  $\alpha$ -올레핀 공중합체를 혼합하고 교반하여 제1 혼합물을 제조하는 단계; 및 (b) 상기 제1 혼합물에  $\alpha$ -올레핀 중합체를 포함하는 제2 혼합물을 반응시켜 긴 사슬 가지 달린 주사슬을 제조하는 단계;를 포함하고, 상기  $\alpha$ -올레핀 중합체는 제1  $\alpha$ -올레핀 중합체 및 제2  $\alpha$ -올레핀 중합체를 포함하고, 상기 주사슬이 상기 제1  $\alpha$ -올레핀 중합체를 포함하고, 상기 긴 사슬 가지가 상기 제2  $\alpha$ -올레핀 중합체 및 상기  $\alpha$ -올레핀 공중합체로 이루어진 군으로부터 선택된 1종 이상을 포함하는 것인, 긴 사슬 가지 달린  $\alpha$ -올레핀 중합체의 제조방법을 제공한다.

[0108]

또한, 상기 단계 (a)가 50 °C 이상부터 130 °C 미만의 온도에서 수행될 수 있고, 바람직하게는 70 내지 110 °C, 보다 바람직하게는 80 내지 100 °C의 온도에서 수행될 수 있다. 상기 단계 (a)가 50 °C 미만의 온도에서 수행될 경우  $\alpha$ -올레핀 공중합체와 양 말단에 아지도 포르메이트기를 갖는 화합물이 잘 혼합되지 않아 바람직하지 않고, 130 °C 이상일 경우  $\alpha$ -올레핀 공중합체만 존재하고  $\alpha$ -올레핀 중합체는 존재하지 않은 상황에서 양 말단에 아지도 포르메이트기를 갖는 화합물의 아지도 포르메이트기가 분해하여 긴 사슬 가지 달린  $\alpha$ -올레핀 중합체를 제조할 수 없으므로 바람직하지 않다.

[0109]

또한, 상기 단계 (b)가 80 내지 300 °C의 온도에서 수행될 수 있고, 바람직하게는 150 내지 190 °C의 온도에서 수행될 수 있다. 상기 단계 (b)가 80 °C 미만의 온도에서 수행될 경우 양 말단에 아지도 포르메이트기를 갖는 화합물의 아지도 포르메이트기가 분해하지 않아 C-H 삽입 반응이 일어나지 않아 긴 사슬 가지 달린  $\alpha$ -올레핀 중합체를 제조할 수 없으므로 바람직하지 않고, 300 °C를 초과할 경우  $\alpha$ -올레핀 중합체 또는  $\alpha$ -올레핀 공중합체가 산화반응으로 분해변성되거나 아지도 포르메이트기의 분해가 빠르게 일어나 니트렌-니트렌 반응을 일으켜 반응에 참여하는 반응기 수가 줄어 온도 상승에 따른 효과가 미미하여 바람직하지 않다.

[0110]

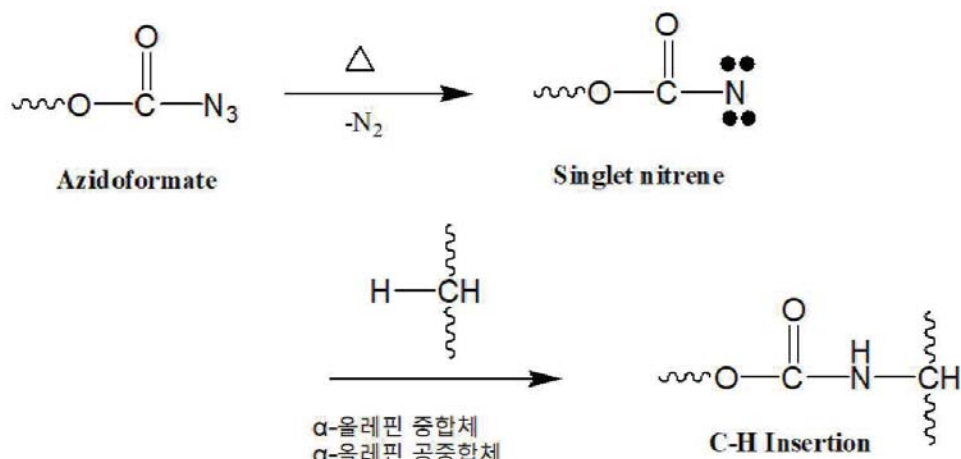
또한, 상기 제1 혼합물이 상기  $\alpha$ -올레핀 공중합체 100 중량부를 기준으로 상기 양 말단에 아지도 포르메이트기를 갖는 화합물 0.1 내지 30 중량부를 포함할 수 있고, 바람직하게는 0.2 내지 20 중량부, 보다 바람직하게는 0.3 내지 10 중량부를 포함할 수 있다. 상기 양 말단에 아지도 포르메이트기를 갖는 화합물이 0.1 중량부 미만으로 포함될 경우 제1  $\alpha$ -올레핀 중합체를 포함하는 주사슬에 긴 사슬 가지가 그라프팅(grafting) 되지 않아 긴 사슬 가지 달린  $\alpha$ -올레핀 중합체가 형성되지 않고, 30 중량부를 초과할 경우 긴 사슬 가지를 형성하는 것이 아니라 가교된(crosslinked)  $\alpha$ -올레핀 중합체를 형성할 수 있어 바람직하지 않다.

[0111]

또한, 상기 단계 (b)의 반응이 C-H 삽입 반응으로 수행되고, 상기 C-H 삽입 반응이 하기 반응식 1과 같이 아지도포메이트의 질소가 싱글릿의 나이트렌(singlet nitrene)이 되고, 상기 싱글릿 나이트렌이  $\alpha$ -올레핀 공중합체 및/또는  $\alpha$ -올레핀 중합체의 C-H 결합의 수소와 치환되어 공유결합되는 것일 수 있다.

[0112]

[반응식 1]



[0113]

[0114]

또한, 상기 단계 (b)에서 제2 혼합물이 상기 제1 혼합물 100 중량부를 기준으로 상기  $\alpha$ -올레핀 중합체 50 내지 10,000 중량부를 포함할 수 있고, 바람직하게는 100 내지 2,000 중량부, 보다 바람직하게는 200 내지 1,500 중량부를 포함할 수 있다. 상기 폴리프로필렌이 50 중량부 미만으로 포함될 경우  $\alpha$ -올레핀 공중합체가 과도해  $\alpha$ -올레핀 중합체와 잘 섞이지 않고,  $\alpha$ -올레핀 중합체를 포함하는 주사슬이 형성되지 않아 바람직하지 않고, 10,000 중량부를 초과할 경우  $\alpha$ -올레핀 중합체의 양이 상대적으로 많아서 분산 효과가 떨어져 긴 사슬 가지가 잘 형성되지 않아  $\alpha$ -올레핀 중합체의 개질 효과를 볼 수 없으므로 바람직하지 않다.

[0115]

또한, 상기 단계 (b)에서, 열이 가해졌을 때 사슬 결단이 일어날 수 있는 가능성이 있어 상기 제2 혼합물이 산화방지제(antioxidant)를 추가로 포함할 수 있다.

[0117]

[실시예]

[0118]

이하, 본 발명의 바람직한 실시예를 들어 설명하도록 한다. 그러나 이는 예시를 위한 것으로서 이에 의하여 본 발명의 범위가 한정되는 것은 아니다.

[0120]

양 말단에 아지도 포르메이트기를 갖는 화합물 제조

[0121]

제조예 1: 4,4'-isopropylidenediphenyl azidoformate (DAF) 제조

[0122]

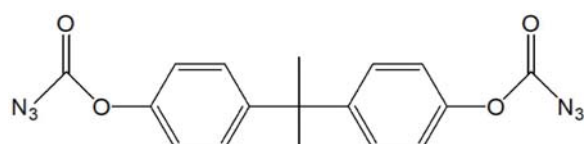
0 °C에서 deionized water 65.0 mL에 녹인 sodium azide (2.0 g, 0.031 mol) 용액을 acetone 120.0 mL에 녹인 2,2-bis(4-chloroformyloxyphenyl)propane (5.0 g, 0.014 mol) 용액에 첨가하였다. 반응은 저온에서 계속 교반되었다. 2시간 후, 생성된 혼합물을 열음(300.0 g)에 부어 DAF를 결정화 시켰다. 생성물을 여과하고 deionized water로 세척한 후 진공오븐에 24 시간 동안 건조시켜서 백색분말의 DAF를 얻었다(4.7 g, 93.5 %).

[0123]

상기 제조예 1에 따라 제조된 DAF의 구조를 아래 구조식 6에 나타내었다.

[0124]

[구조식 6]



[0125]

제조예 2: tri(ethylene glycol) diazidoformate (GDAF) 제조

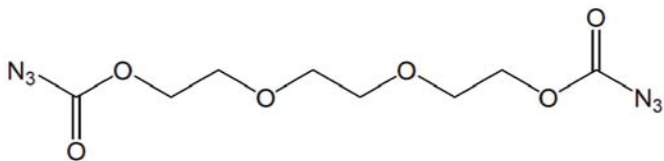
[0128]

deionized water 65.0 mL에 녹인 sodium azide (2.0 g, 0.031 mol) 용액을 acetone 120.0 mL에 녹인 tri(ethylene glycol) bis(chloroformate) (4.0 g, 0.015 mol) 용액에 첨가하였다. 제조예 1과 같이 ice-bath에서 2 시간 동안 반응을 진행하였다. 반응 혼합물을 DCM(100 mL × 2)으로 추출하고, 유기 층을 MgSO4로 건조시켰다. MgSO4를 여과한 후, 분해를 방지하기 위해 저온에서 진공 증류하여 용매를 증발시켰다. 옅은 노란색 오일 형태의 GDAF를 얻었다(3.5 g, 87.1 %).

[0129]

상기 제조예 2에 따라 제조된 GDAF의 구조를 아래 구조식 7에 나타내었다.

### [구조식 7]



블렌드 제조

제조예 3: TX와 DAF의 블렌드(TD5) 제조

프로필렌  $\alpha$ -올레핀 공중합체(propylene  $\alpha$ -olefin copolymer, TAFMER XM-5070, TX) 38 g과 제조예 1에 따라 제조된 DAF 0.190 g을 melt blending하여 TX과 DAF의 블렌드(TD5)를 제조하였다. 혼합 반응은 internal melt mixer(Brabender Plasticorder 50 EHT)를 이용하여 100 °C에서 10 분간 50 rpm의 속도로 수행되었다.

제조예 4: TX와 DAF의 블렌드(TD10) 제조

제조예 1에 따라 제조된 DAF를 0.190 g 사용한 것 대신에 0.380 g 사용한 것을 제외하고는 제조예 3과 동일한 방법으로 TX와 DAF 블렌드(TD10)를 제조하였다.

제조예 5: TX와 DAF의 블렌드(TD20) 제조

제조예 1에 따라 제조된 DAF를 0.190 g 사용한 것 대신에 0.760 g 사용한 것을 제외하고는 제조예 3과 동일한 방법으로 TX와 DAF 블렌드(TD20)를 제조하였다.

제조예 6: TX와 DAF의 블렌드(TD40) 제조

제조예 1에 따라 제조된 DAF를 0.190 g 사용한 것 대신에 1.520 g 사용한 것을 제외하고는 제조예 3과 동일한 방법으로 TX와 DAF 블렌드(TD40)를 제조하였다

제조예 7: TX와 DAF의 블렌드(TD60) 제조

제조예 1에 따라 제조된 DAF를 0.190 g 사용한 것 대신에 2.280 g 사용한 것을 제외하고는 제조예 3과 동일한 방법으로 TX와 DAF 블렌드(TD60)를 제조하였다

제조예 8: TX와 DAF의 블렌드(TD80) 제조

제조예 1에 따라 제조된 DAF를 0.190 g 사용한 것 대신에 3.040 g 사용한 것을 제외하고는 제조예 3과 동일한 방법으로 TX와 DAF 블렌드(TD80)를 제조하였다

제조예 9: TX와 GDAF의 블렌드(TGD5) 제조

제조예 1에 따라 제조된 DAF를 사용한 것 대신에 제조예 2에 따라 제조된 GDAF를 0.190 g 사용한 것을 제외하고는 제조예 3과 동일한 방법으로 TX와 GDAF의 블렌드(TGD5)를 제조하였다.

긴 사슬 가지 달린 폴리프로필렌 제조

### 실시예 1(PTD1)

Brabender melt mixer를 사용하여 165 °C에서 10 분간 50 rpm으로 상기 제조예 3에 따라 제조된 블렌드(TD5) 11.457 g, 폴리프로필렌 26.22 g 및 산화방지제(Ethanox®310) 0.38 g을 혼합 반응시켰다. 10 분 후, 반응물을 실온으로 냉각시켜 긴 사슬 가지를 갖는 폴리프로필렌을 제조하였다.

### 실시예 2(PTD3)

제조예 3에 따라 제조된 블렌드(TD5) 11.457 g을 사용한 것 대신에 제조예 4에 따라 제조된 블렌드(TD10) 11.514 g을 사용한 것을 제외하고는 실시예 1과 동일한 방법으로 긴 사슬 가지를 갖는 폴리프로필렌을 제조하였다.

### 실시예 3(PTD6)

제조예 3에 따라 제조된 블렌드(TD5) 11.457 g을 사용한 것 대신에 제조예 5에 따라 제조된 블렌드(TD20) 11.628 g을 사용한 것을 제외하고는 실시예 1과 동일한 방법으로 3 사슬 가지를 갖는 폴리프로필레을 제조하였

다.

[0165] 실시예 4(PTD12)

[0166] 제조예 3에 따라 제조된 블렌드(TD5) 11.457 g을 사용한 것 대신에 제조예 6에 따라 제조된 블렌드(TD40) 11.856 g을 사용한 것을 제외하고는 실시예 1과 동일한 방법으로 긴 사슬 가지를 갖는 폴리프로필렌을 제조하였다.

[0168] 실시예 5(PTD18)

[0169] 제조예 3에 따라 제조된 블렌드(TD5) 11.457 g을 사용한 것 대신에 제조예 7에 따라 제조된 블렌드(TD60) 12.084 g을 사용한 것을 제외하고는 실시예 1과 동일한 방법으로 긴 사슬 가지를 갖는 폴리프로필렌을 제조하였다.

[0171] 실시예 6(PTD24)

[0172] 제조예 3에 따라 제조된 블렌드(TD5) 11.457 g을 사용한 것 대신에 제조예 8에 따라 제조된 블렌드(TD80) 12.312 g을 사용한 것을 제외하고는 실시예 1과 동일한 방법으로 긴 사슬 가지를 갖는 폴리프로필렌을 제조하였다.

[0174] 실시예 7(PTGD1)

[0175] 제조예 3에 따라 제조된 블렌드(TD5) 11.457 g을 사용한 것 대신에 제조예 9에 따라 제조된 블렌드(TGD5) 11.457 g을 사용한 것을 제외하고는 실시예 1과 동일한 방법으로 긴 사슬 가지를 갖는 폴리프로필렌을 제조하였다.

[0177] 실시예 8(PD1)

[0178] Brabender melt mixer를 사용하여 175 °C에서 10 분간 50 rpm으로 제조예 1에 따라 제조된 DAF 0.057 g, 폴리프로필렌 37.57 g 및 산화방지제(Ethanox®310) 0.38 g을 혼합 반응시켰다. 10 분 후, 반응물을 실온으로 냉각시켜 폴리프로필렌을 제조하였다.

[0180] 비교예 1(PT)

[0181] Brabender melt mixer를 사용하여 165 °C에서 10 분간 50 rpm으로 프로필렌 α-올레핀 공중합체(propylene α-olefin copolymer, TAFMER XM-5070, TX) 11.4 g, 폴리프로필렌 26.22 g 및 산화방지제(Ethanox®310) 0.38 g을 혼합 반응시켰다. 10 분 후, 반응물을 실온으로 냉각시켜 폴리프로필렌을 제조하였다.

[0183] 아래 표 1은 제조예 3 내지 9, 실시예 1 내지 8 및 비교예 1에 따른 긴 사슬 가지를 갖는 폴리프로필렌의 중량부 비율을 정리하여 나타낸 것이다.

**표 1**

구분	PP (g)	TX (g)	DAF (g)	GDAF (g)	산화 방지제 (g)
제조예 3 (TD5)	-	38	0.190	-	-
제조예 4 (TD10)	-	38	0.380	-	-
제조예 5 (TD20)	-	38	0.760	-	-
제조예 6 (TD40)	-	38	1.520	-	-
제조예 7 (TD60)	-	38	2.280	-	-
제조예 8 (TD80)	-	38	3.040	-	-
제조예 9 (TGD5)	-	38	-	0.190	-
실시예 1 (PTD1)	26.22	11.4	0.057	-	0.38
실시예 2 (PTD3)	26.22	11.4	0.114	-	0.38
실시예 3 (PTD6)	26.22	11.4	0.228	-	0.38
실시예 4 (PTD12)	26.22	11.4	0.456	-	0.38
실시예 5 (PTD18)	26.22	11.4	0.684	-	0.38
실시예 6 (PTD24)	26.22	11.4	0.912	-	0.38
실시예 7 (PTGD1)	26.22	11.4	-	0.057	0.38
실시예 8 (PD1)	37.57	-	0.057	-	0.38
비교예 1 (PT)	26.22	11.4	-	-	0.38

[0186] [시험예]

[0187] 시험예 1: DAF의 합성 확인

도 2a는 제조예 1에 따라 제조된 DAF의 FT-IR 분석 결과를 나타낸 것이고, 도 2b는 제조예 1에 따라 제조된 DAF의  $^1\text{H-NMR}$  분석 결과를 나타낸 것이고, 도 2c는 제조예 1에 따라 제조된 DAF의 Q-TOF MS 그래프를 나타낸 것이다.

도 2a를 참고하면,  $2160 \text{ cm}^{-1}$ 에서 DAF의 N=N=N(azide)에 해당하는 신축진동이 나타났고,  $1700 \text{ cm}^{-1}$ 에서 C=O(carbonyl)에 해당하는 강한 신축진동과,  $1500 \text{ cm}^{-1}$ 에서 벤젠 고리의 C-C 신축진동을 관찰할 수 있다.

도 2b를 참고하면,  $^1\text{H-NMR}$ 에서 chemical shift의 위치, proton peak의 적분 값, split pattern이 예상 화합물과 일치하는 것을 확인할 수 있다.

도 2c를 참고하면, 제조예 1에 따라 제조된 DAF의 분자량이 366.107 g/mol인 것을 확인할 수 있다.

따라서 도 2a 내지 2c로부터 제조예 1에 따라 DAF가 성공적으로 합성되었음을 알 수 있다.

[0194] 시험예 2: GDAF의 합성 확인

도 3a는 제조예 2에 따라 제조된 GDAF의 FT-IR 분석 결과를 나타낸 것이고, 도 3b는 제조예 2에 따라 제조된 GDAF의  $^1\text{H-NMR}$  분석 결과를 나타낸 것이고, 도 3c는 제조예 2에 따라 제조된 GDAF의 Q-TOF MS 그래프를 나타낸 것이다.

도 3a를 참고하면,  $2160 \text{ cm}^{-1}$ 에서 DAF의 N=N=N(azide)에 해당하는 신축진동이 나타났고,  $1700 \text{ cm}^{-1}$ 에서 C=O(carbonyl)에 해당하는 강한 신축진동을 관찰할 수 있다.

도 3b를 참고하면,  $^1\text{H-NMR}$ 에서 chemical shift의 위치, proton peak의 적분 값, split pattern이 예상 화합물과 일치하는 것을 확인할 수 있다.

도 3c를 참고하면, 제조예 2에 따라 제조된 GDAF의 분자량이 288.082 g/mol인 것을 확인할 수 있다.

따라서 도 3a 내지 3c로부터 제조예 2에 따라 GDAF가 성공적으로 합성되었음을 알 수 있다.

[0201] 시험예 3: DAF와 GDAF의 DSC 분석

도 4a는 제조예 1에 따라 제조된 DAF의 DSC 측정 결과를 나타낸 것이고, 도 4b는 제조예 2에 따라 제조된 GDAF의 DSC 측정 결과를 나타낸 것이다.

도 4a 및 4b를 참고하면, DAF와 GDAF 모두 110 내지 150 °C에서 뚜렷한 발열 피크로 아지드(Azide)의 분해가 확인되었으며, 도 4a에서 60 내지 70 °C에서 DAF의 용융 온도를 확인할 수 있다.

[0204] 이에 따라, 실시예에서 DAF와 TX의 melt blending은 아지도 포르메이트의 과다한 분해를 피하면서 원활한 혼합을 위해 100 °C에서 수행되었으며, 이후, DAF/TX 블렌드는 폴리프로필렌과 165 °C에서 용융 혼합을 통해 열적으로 반응하며, 이는 C-H 삽입 반응을 매개하기 위한 아지도 포르메이트의 분해를 보장할 수 있는 충분히 높은 온도로 설정하였다.

[0206] 시험예 4: TX, PP, 비교예 1(TX+PP)의 DSC 분석

도 5a는 프로필렌  $\alpha$ -올레핀 공중합체(TX), 폴리프로필렌(PP) 및 비교예 1(PT)의 DSC heating 곡선을 나타낸 것이고, 도 5b는 프로필렌  $\alpha$ -올레핀 공중합체(TX), 폴리프로필렌(PP) 및 비교예 1(PT)의 DSC cooling 곡선을 나타낸 것이다.

도 5a 및 5b를 참고하면, 프로필렌  $\alpha$ -올레핀 공중합체(TX)의 용융 곡선(~80 °C)은 프로필렌  $\alpha$ -올레핀 공중합체와 폴리프로필렌을 혼합한 비교예 1(PT)의 2<sup>nd</sup> heating curve에서 관찰되지 않았으며, 이는 프로필렌  $\alpha$ -올레핀 공중합체(TX)와 폴리프로필렌(PP)의 혼화성이 우수하여 성분 간 결정화 형성을 암시한다. 마찬가지로 비교예 1(PT)의 용융 결정 온도도 폴리프로필렌의 용융 결정온도와 동일하게 나타났다.

[0210] 시험예 6: TX, 제조예 3 및 실시예 3의 FT-IR 분석

[0211] 도 6은 프로필렌  $\alpha$ -올레핀 공중합체(TX), 제조예 3(TD20) 및 실시예 3(PTD6)의 FT-IR 분석 결과를 나타낸 것이다.

[0212] 도 6을 참고하면, DAF의 특정 azide 및 carbonyl기를 통해 반응 진행을 성공적으로 확인하였다. 제조예 3(TD20)의 경우  $2100\text{ cm}^{-1}$ 의 azide기 신축진동과  $1700\text{ cm}^{-1}$ 의 carbonyl기 신축진동으로 DAF의 아지도 포르메이트기의 존재가 확인되고, 실시예 3(PTD6)에서 azide peak의 부재와 약한 carbonyl peak의 존재는 제조예 3(TD20)에서 아지도 포르메이트기의 열분해를 나타낸다.

[0213] 즉, 제조예 3(TD20)에서 아지도 포르메이트기가 분해하지 않고 잘 섞여 있다가 실시예 3(PTD6)에서 반응이 일어나는 것을 확인할 수 있다.

#### 시험예 7: 긴 사슬 가지를 갖는 폴리프로필렌 형성 확인

[0216] 아래 표 2는 실시예 1 내지 6에 따른 긴 사슬 가지를 갖는 폴리프로필렌의 중량부 비율 및 자일렌 용해도를 정리하여 나타낸 것이다.

**표 2**

구분	PP (g)	TX (g)	DAF (g)	자일렌 용해도 (%)
실시예 1 (PTD1)	26.22	11.4	0.057	100
실시예 2 (PTD3)	26.22	11.4	0.114	100
실시예 3 (PTD6)	26.22	11.4	0.228	100
실시예 4 (PTD12)	26.22	11.4	0.456	100
실시예 5 (PTD18)	26.22	11.4	0.684	100
실시예 6 (PTD24)	26.22	11.4	0.912	crosslinking

[0219] 양 말단에 아지도 포르메이트를 갖는 화합물에서, 양 끝의 아지도 포르메이트기가 폴리프로필렌과 과도하게 반응하면 긴 사슬 가지(long chain branched, LCB) 구조를 넘어 가교(crosslinking)가 된다.

[0220] 상기 표 2를 참고하면, 실시예 1 내지 5는  $137\text{ }^{\circ}\text{C}$ 의 xylene에 용해되어 가교된 폴리프로필렌이 아닌 긴 사슬 가지를 갖는 폴리프로필렌(LCBPP) 형성을 뒷받침하였다. 실시예 6(PTD24)의 경우 일부 불용성 반투명 입자를 나타냈고, 이는 지나치게 높은 농도의 DAF로 가교된 폴리프로필렌이 형성되었음을 시사한다.

#### 시험예 8: 분자량 및 분자량 분포 확인

[0223] 도 7a는 비교예 1(PT) 및 실시예 3(PTD6)의 고온 GPC 곡선을 나타낸 것이고, 도 7b는 폴리프로필렌(PP), 비교예 1(PT), 실시예 1(PTD1) 및 실시예 3(PTD6)의 melt index값을 나타낸 것이다.

[0224] 아래 표 3은 폴리프로필렌(PP), 프로필렌  $\alpha$ -올레핀 공중합체(TX), 비교예 1(PT) 및 실시예 3(PTD6)의 분자량, 분자량분포 및 melt index 값을 정리하여 나타낸 것이다.

**표 3**

구분	Mn	Mw	Mw/Mn	Melt index (g/10 min, $230\text{ }^{\circ}\text{C}$ )
PP	15,000	288,000	18.3	17.9
TX	100,000	230,000	2.3	7.0
비교예 1(PT)	41,000	347,000	8.3	12.7
실시예 3(PTD6)	23,000	305,000	13.4	10.8

[0227] 도 7a 및 상기 표 3을 참고하면, 비교예 1(PT)의 Mw/Mn 값은 폴리프로필렌(PP)보다 상대적으로 낮았고, 실시예 3(PTD6)의 Mw/Mn 값은 비교예 1(PT)보다 상당히 높았다. 이러한 결과는 분자체 분자의 성공적인 생성에서 비롯된 것으로 보이며, 더 광범위한 분자 종을 제안할 수 있게 한다. 실시예 3(PTD6)의 Mw 값은 비교예 1(PT)의 Mw 값보다 높지 않았는데, 이는 GPC 상에서 분자 분자의 유체 역학적 부피가 선형 고분자 사슬의 부피보다 그리 크지 않기 때문일 가능성이 높다고 보인다.

[0228] 용융지수(melt index, MI) 값은 체인 이동성과 밀접한 관련이 있다. 도 7b 및 상기 표 3을 참고하면, 비교예 1(PT)의 MI 값은 12.7이었지만, 실시예 1(PTD1)의 MI 값은 12.2, 실시예 3(PTD6)은 10.8로 DAF의 양이 증가할

수록 낮아지는 것을 확인할 수 있다. 이는 가지 구조로 더 확장된 분자 모양에서 비롯된 것으로 보이며, 결과적으로 고분자 사슬의 이동성이 감소하였다.

[0230] 시험예 9: PP, 비교예 1, 실시예 1 내지 4의 DSC 분석

도 8a는 폴리프로필렌, 비교예 1(PT), 실시예 1 내지 3, 실시예 5의 DSC heating 곡선을 나타낸 것이고, 도 8b는 폴리프로필렌, 비교예 1(PT), 실시예 1 내지 3, 실시예 5의 DSC cooling 곡선을 나타낸 것이다.

도 8a 및 8b를 참고하면, DSC에서 폴리프로필렌(PP) 및 실시예(PTD) 용융 온도 값의 큰 차이는 관찰되지 않았다. 그러나, 폴리프로필렌(PP) 및 비교예 1(PT)에 비해 실시예(PTD)에서 고온 결정화 온도가 증가했으며, DAF의 함량이 높을수록 고온 결정화 온도가 증가하는 것을 확인할 수 있다. 이러한 결과는 분자 모양의 분자 구조가 heterogeneous nucleating 형성 부위로 작용하여 용융 상태에서 결정화 과정을 가속화할 수 있음을 나타낸다.

[0234] 시험예 10: 유연학적 거동 확인

[0235] 시험예 10-1: 점도(viscosity) 특성 확인

도 9a는 폴리프로필렌, 비교예 1(PT), 실시예 1 내지 3, 실시예 5, 실시예 8(PD1)의 각 주파수에 따른 복합점도 ( $\eta^*$ ) 거동을 나타낸 것이고, 도 9b는 비교예 1(PT), 실시예 1 내지 3 및 실시예 5의 zero shear viscosity를 나타낸 것이다.

도 9a를 참고하면, 낮은 frequency 영역에서 실시예(PD1 및 PTD들)의  $\eta^*$  값은 폴리프로필렌(PP) 및 비교예 1(PT)의 값보다 명백하게 높았으며, DAF의 함량이 증가할수록 지속적으로 증가하는 것이 관찰된다. 이러한 결과는 도 9b에서와 같이 더 높은 함량의 DAF를 포함하는 실시예(PD1 및 PTD들)가 더 높은 zero shear viscosity 값을 가지게 만들었다.

반면, 높은 frequency 영역에서 실시예(PD1 및 PTD들)의  $\eta^*$  값은 비교예 1(PT)보다 낮았으며, 약 10 rad/s에서 명확하게 보이는 교차점과 LCB 사슬 구조 양식에서 비롯되는 shear thinning 거동을 나타난다. 이는 특히 밸포 공정에서의 비용 및 에너지 절약 측면에서 유리하게 작용된다.

[0239] 시험예 10-2: 탄성 특성 확인

도 9c는 폴리프로필렌(PP), 비교예 1(PT), 실시예 1 내지 3, 실시예 5의 저장 모듈러스( $G'$ ) 및 손실 모듈러스( $G''$ )를 나타낸 것이다.

저장 모듈러스( $G'$ )와 손실 모듈러스( $G''$ ) 값은 샘플의 탄성 특성에 대한 정보를 제공한다. 폴리프로필렌은 전형적인 선형 고분자의 말단 거동을 보이는 반면 더 많은 긴 사슬 가지(LCB) 구조의 도입은 선형 고분자보다 더 긴 이완 과정을 가져 용융상태에서 더 많은 탄성 특성이 부여된다.

도 9c를 참고하면, DAF의 양이 많을수록 낮은 frequency에서 상대적으로 높은 저장 모듈러스( $G'$ )와 손실 모듈러스( $G''$ ) 값이 관찰되는 반면, 높은 frequency에서 상대적으로 낮은 저장 모듈러스( $G'$ )와 손실 모듈러스( $G''$ ) 값이 관찰된다. 선형 고분자 (PP와 PT)는 가파르게 떨어지는 반면, 긴 사슬 가지 구조(실시예, PTD들)는 사슬 얹힘 (entanglement)으로 인해 더 긴 이완시간과 더 높은 용융 탄성을 가져 낮은 frequency에서 높은 저장 모듈러스( $G'$ ) 값을 보인다.

[0243] 시험예 10-3: 손실 탄젠트( $\tan \delta, G''/G'$ ) 확인

도 10a는 폴리프로필렌(PP), 비교예 1(PT), 실시예 1 내지 3, 실시예 5의 손실 탄젠트 값을 나타낸 것이다. 손실 탄젠트는 이완 과정을 반영하는 또 다른 사슬의 특성을 볼 수 있는 지표이다.

도 10a를 참고하면, 폴리프로필렌(PP)과 비교예 1(PT)의 경우, 낮은 frequency에서  $\tan \delta$  값이 상대적으로 높고, 높은 frequency에서  $\tan \delta$  값이 급격히 감소했다. 이러한 결과는 액체와 같은 플라스틱 재료에 대한 일반적인 말단 거동을 나타낸다. 대조적으로, 실시예들(PTD들)은 낮은 frequency에서  $\tan \delta$  값이 DAF 양의 증가에 따라 낮아지며 frequency에 따라 더 평평한 곡선을 나타냈다. PTD들의 말단 이완 시간은 DAF 양과 함께 증가하였고, 가지 사슬 얹힘 현상이 점탄성 거동을 향상시킨 것으로 보인다.

[0246] 시험예 10-4: van Gurp-Palmen(vGP) plot 이용해 가지 고분자 구조의 특징 확인

도 10b는 폴리프로필렌(PP), 비교예 1(PT), 실시예 1 내지 3, 실시예 5의 van Gurp-Palmen plot을 나타낸 것이다. 긴 사슬 가지(LCB) 구조는 가지 부분에서 사슬 이완을 가지고, 열유변학적으로 선형 고분자보다 더 복잡하

기 때문에, 위상 각 ( $\delta$ )을 사용하여 van Gurp-Palmen (vGP) plot을 통해 가지 고분자의 특징도 설명할 수 있다.

[0248] 도 10b를 참고하면, 폴리프로필렌(PP)과 비교예 1(PT)은 선형 고분자의 전형적인  $\delta$  거동을 나타냈다. 실시예들 (PTD들)은 낮은 complex modulus ( $G^*$ )에서 DAF 양이 증가할수록 위상 각 ( $\delta$ ) 값이 감소하여 용융 상태에서 더 많은 탄성 특성이 있었음을 보여준다.

[0250] 시험예 12: 양 말단에 아지도 포르메이트기를 갖는 화합물 종류에 따른 복합점도 거동 확인

[0251] 도 11은 실시예 1 및 실시예 7의 각 주파수에 따른 복합점도 ( $\eta^*$ ) 거동을 나타낸 것이다. 상세하게는 동일한 양에서 양 말단에 아지도 포르메이트기를 갖는 상이한 분자 (실시예 1(DAF) vs 실시예 7(GDAF))의 효과에 대해 조사한 것이다.

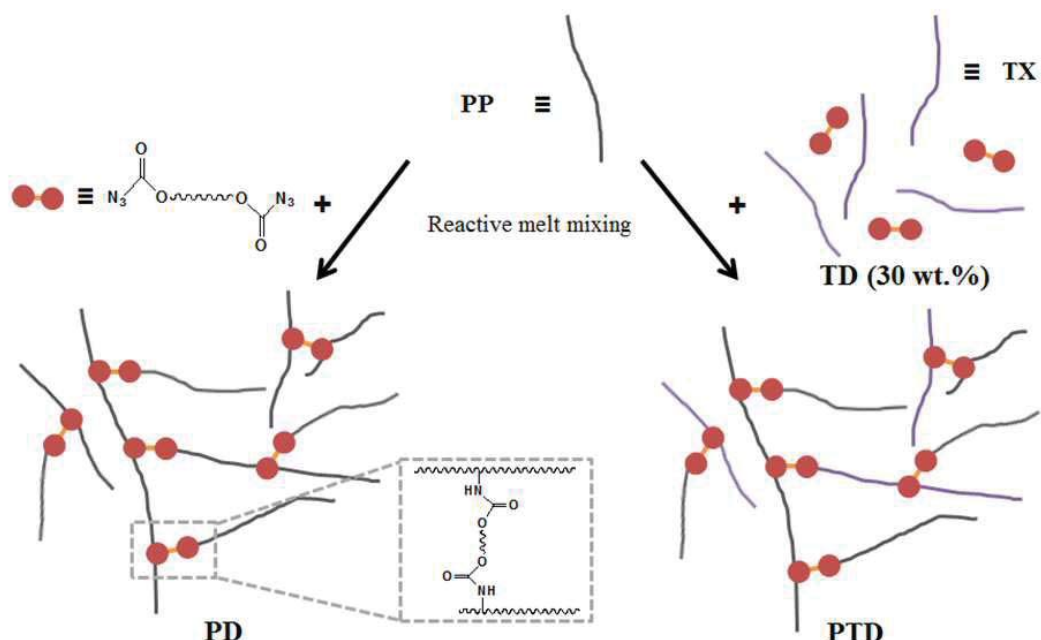
[0252] 도 11을 참고하면, 실시예 7(PTGD1)은 낮은 frequency에서 실시예 1(PTD1)보다 높은  $\eta^*$  값을 보였고, 상대적으로 높은 frequency에서  $\eta^*$  값을 실시예 1(PTD1) 보다 낮아져 보다 우수한 shear thinning 거동을 나타냈다. 이러한 결과는 GDAF가 LCBPP를 생성하기 위한 C-H 삽입 반응을 매개하는 더 나은 분자체일 수 있음을 시사한다.

[0254] 본 발명의 범위는 상기 상세한 설명보다는 후술하는 특허청구범위에 의하여 나타내어지며, 특허청구범위의 의미 및 범위 그리고 그 균등 개념으로부터 도출되는 모든 변경 또는 변형된 형태가 본 발명의 범위에 포함되는 것으로 해석되어야 한다.

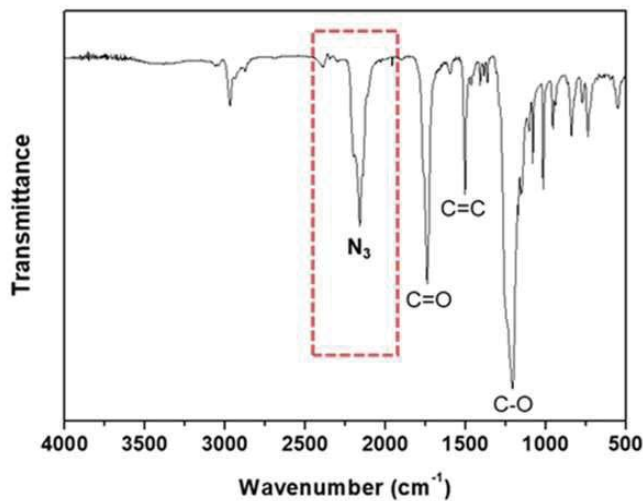
## 도면

### 도면1

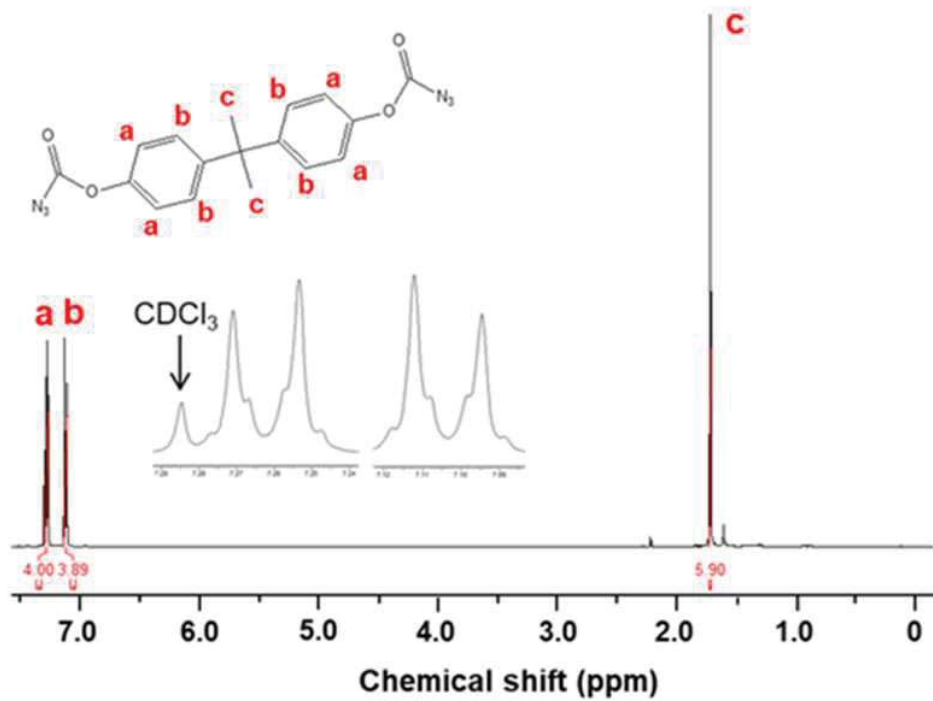
#### Preparation of LCB-PP



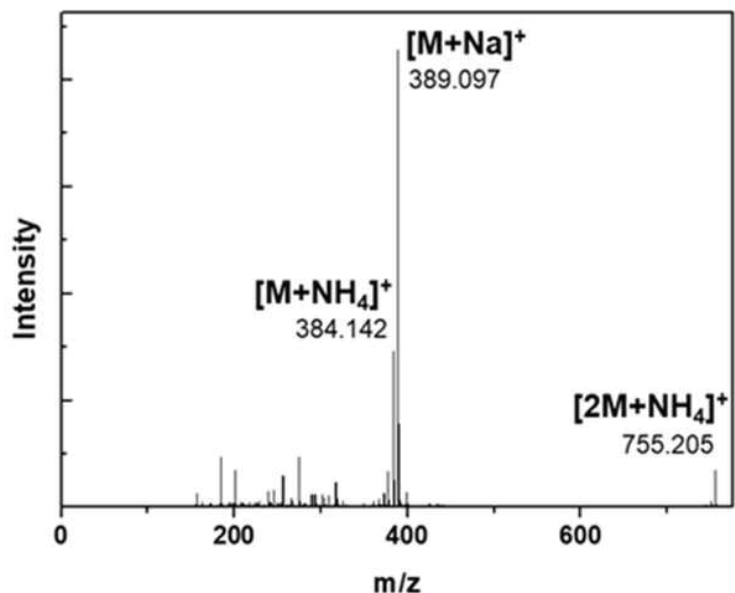
도면2a



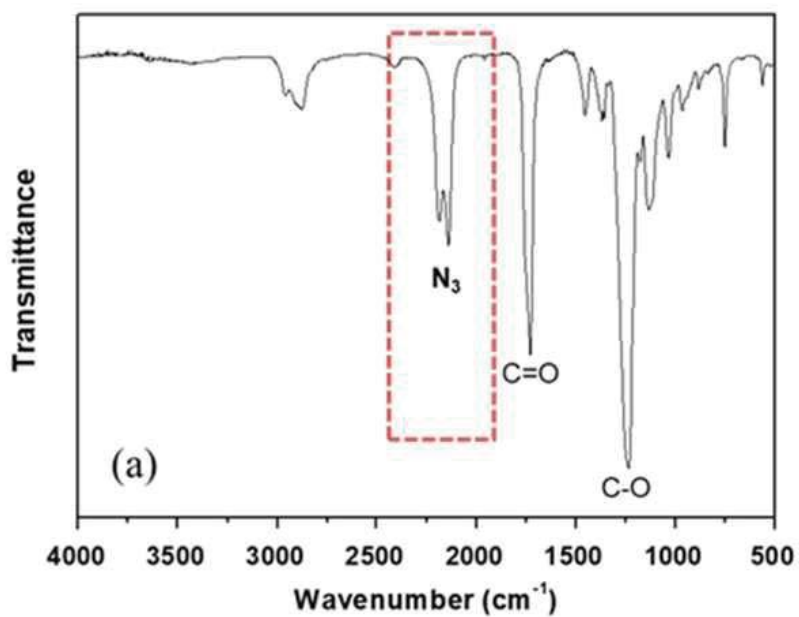
도면2b



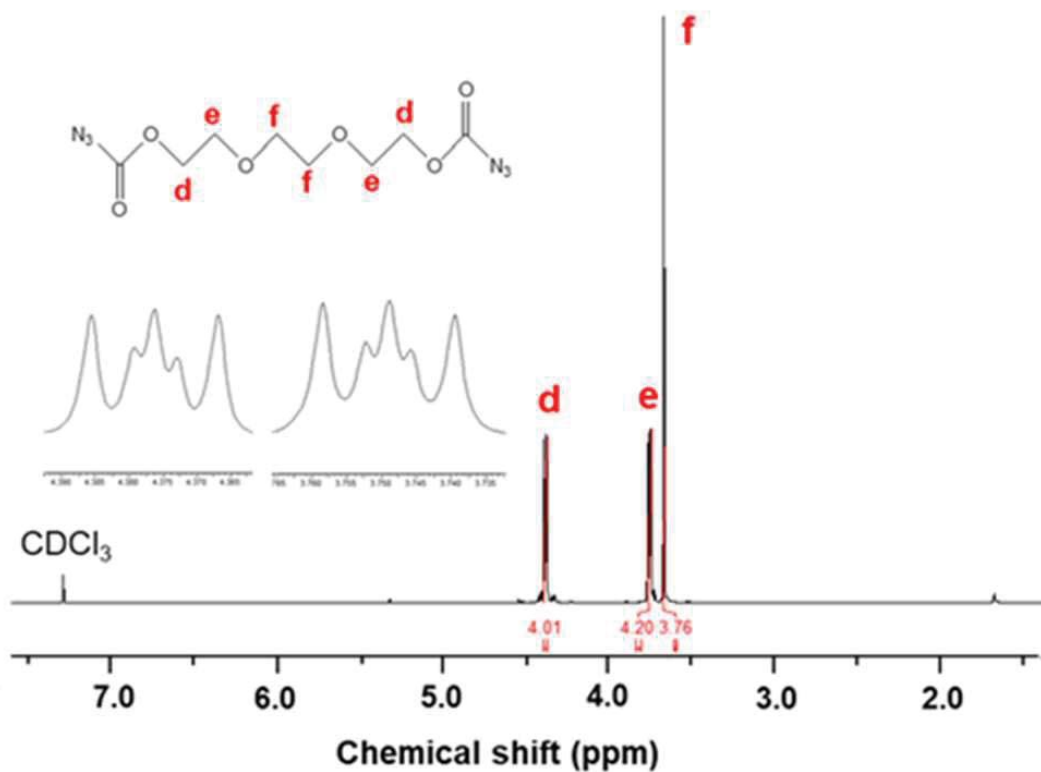
도면2c



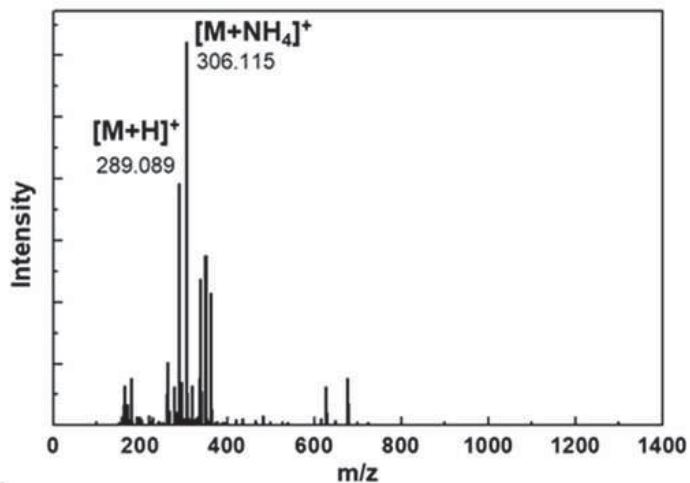
도면3a



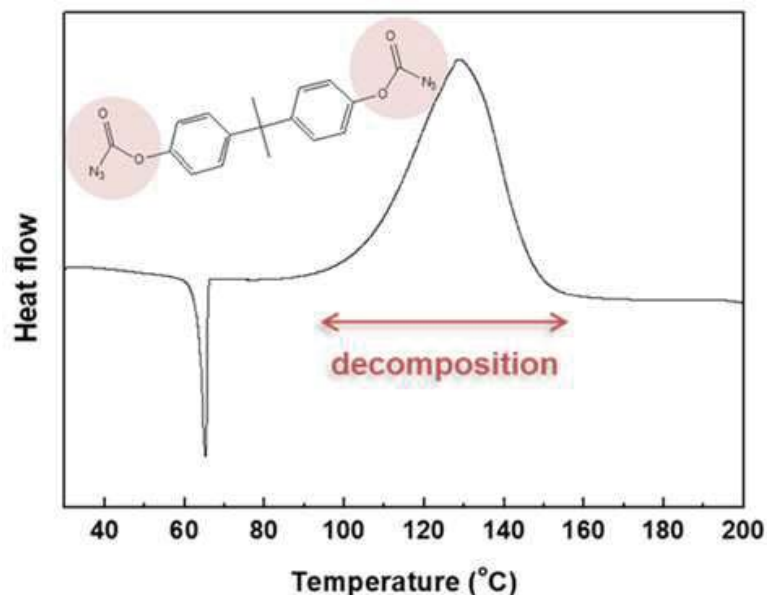
도면3b



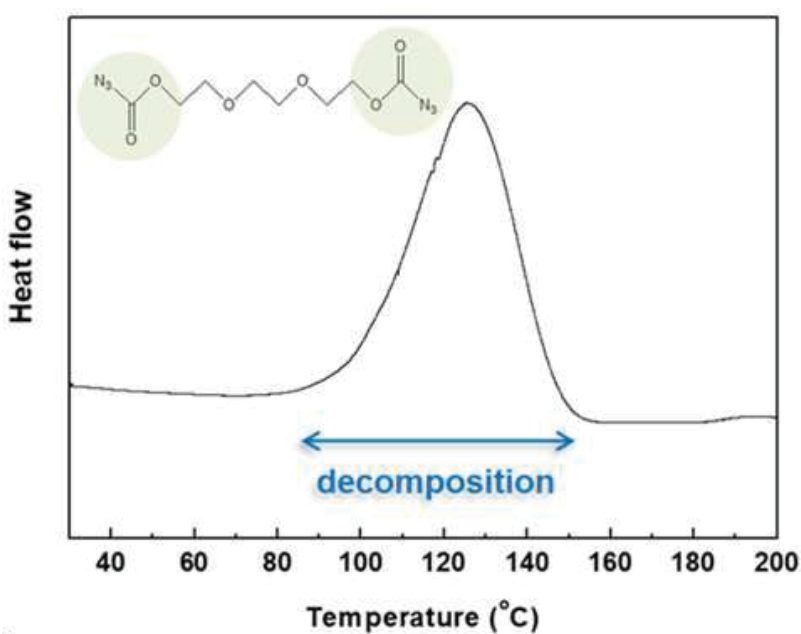
도면3c



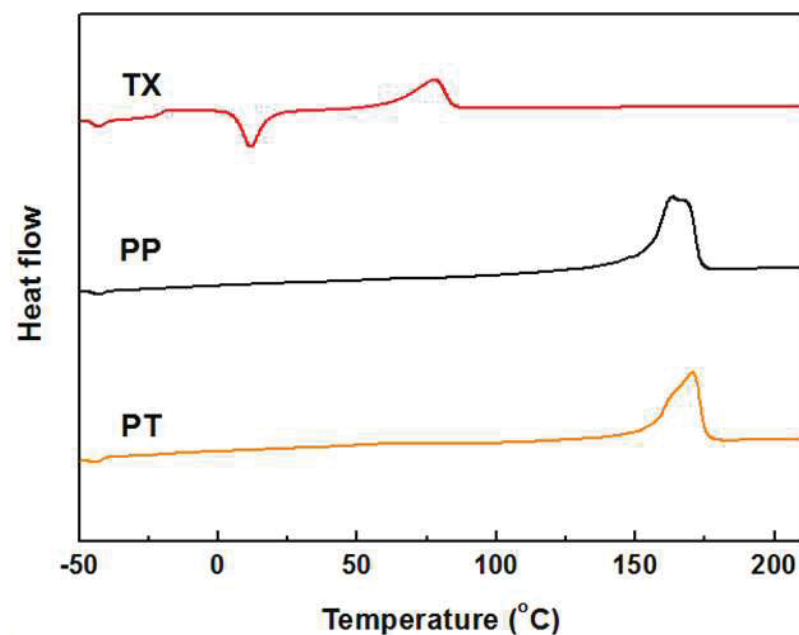
### 도면4a



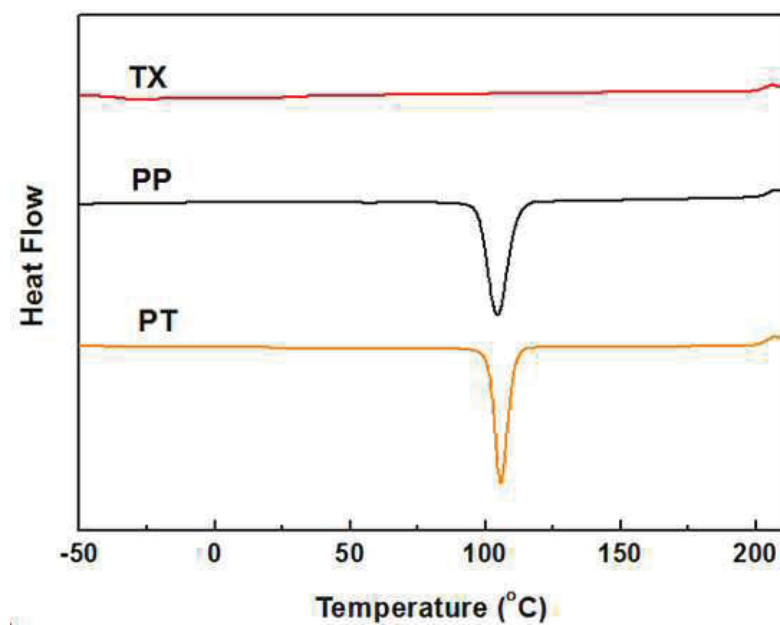
도면4b



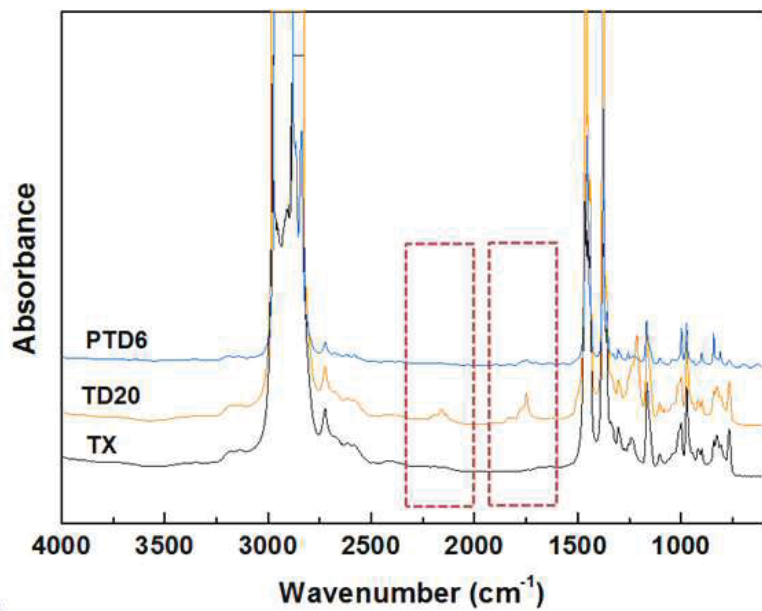
도면5a



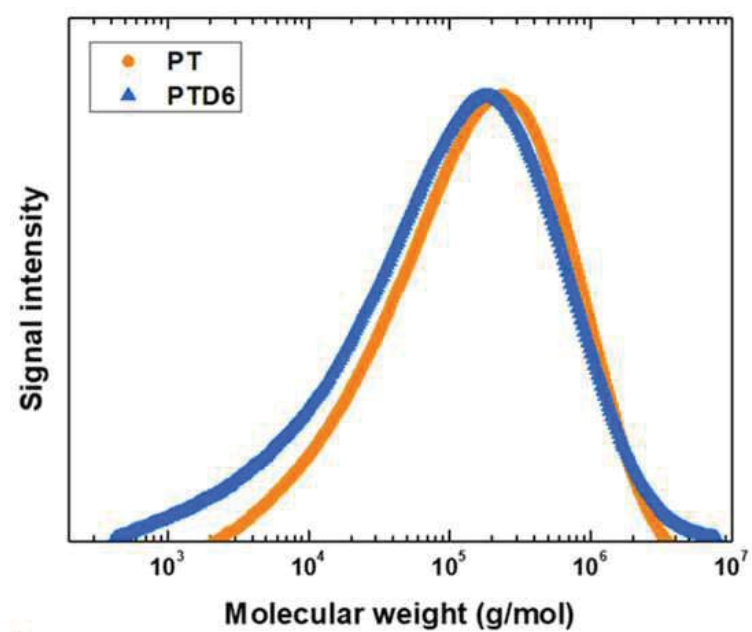
도면5b



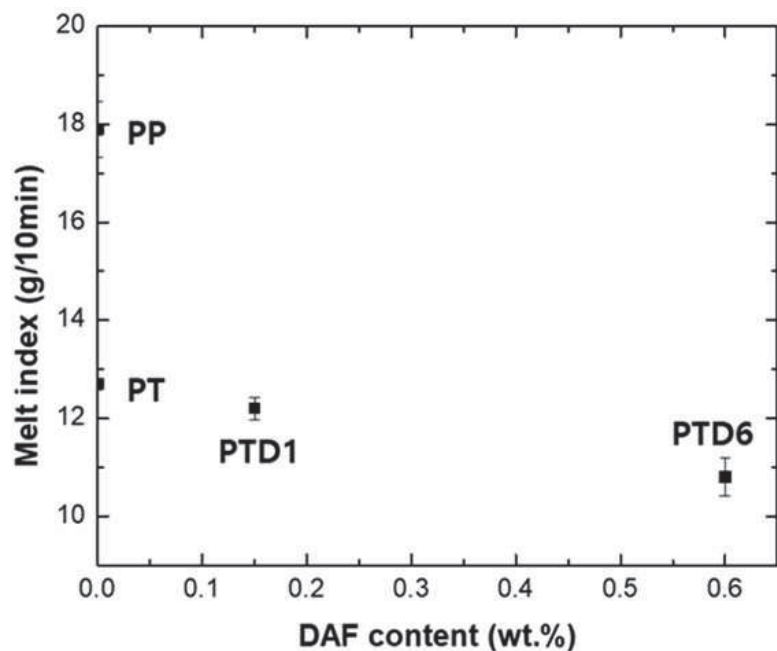
도면6



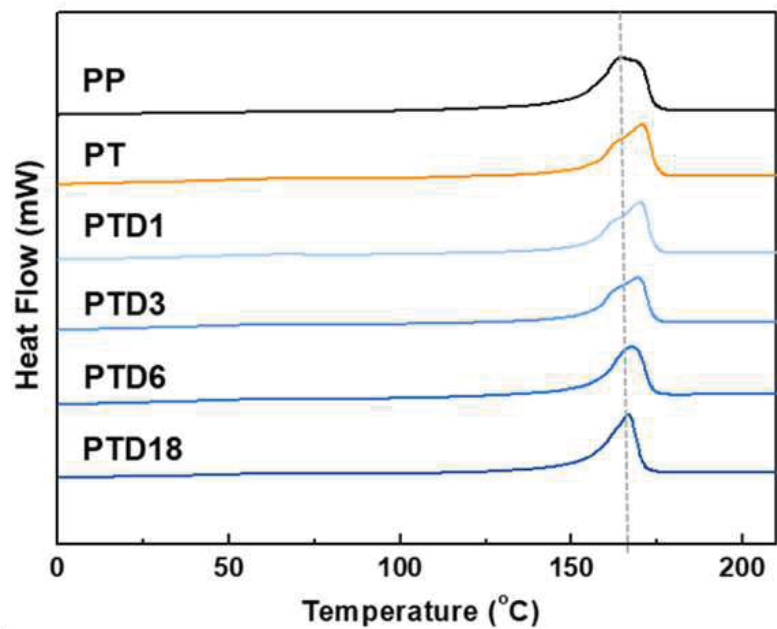
도면7a



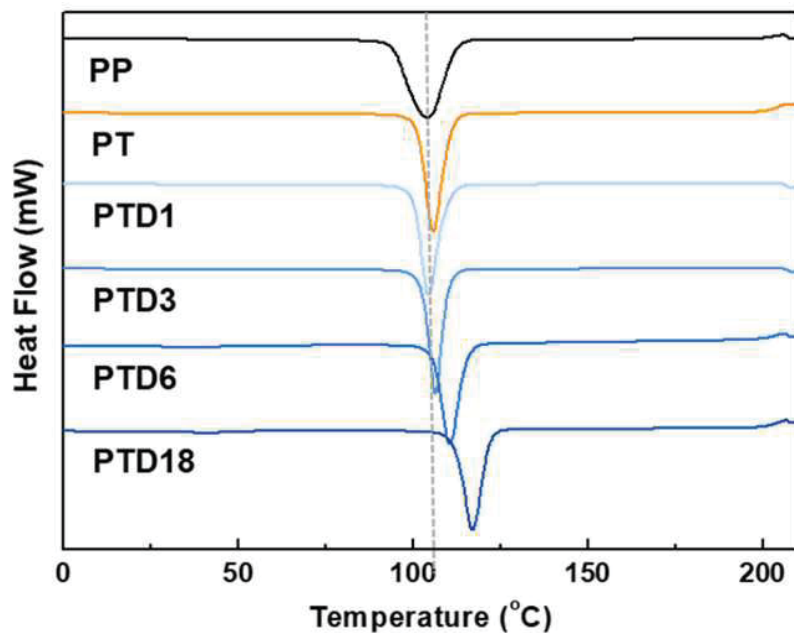
도면7b



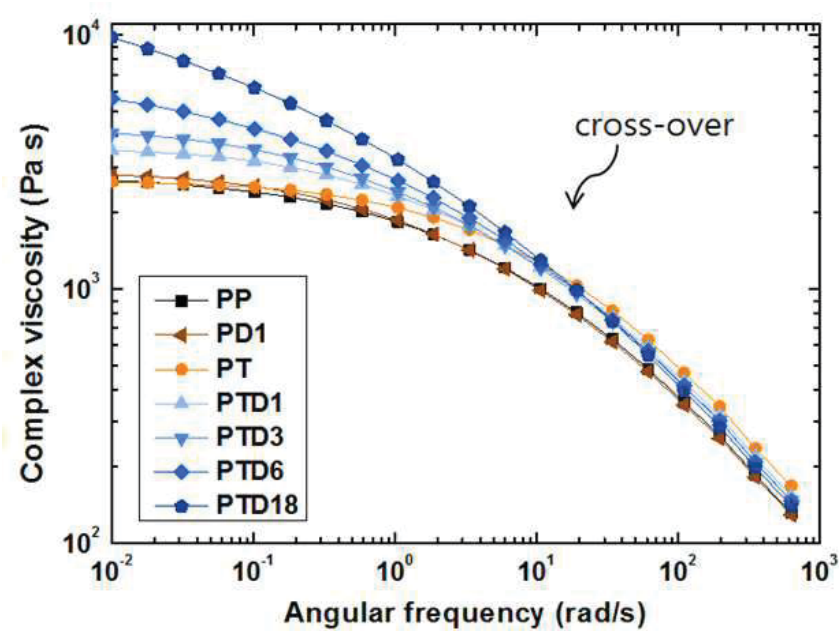
도면8a



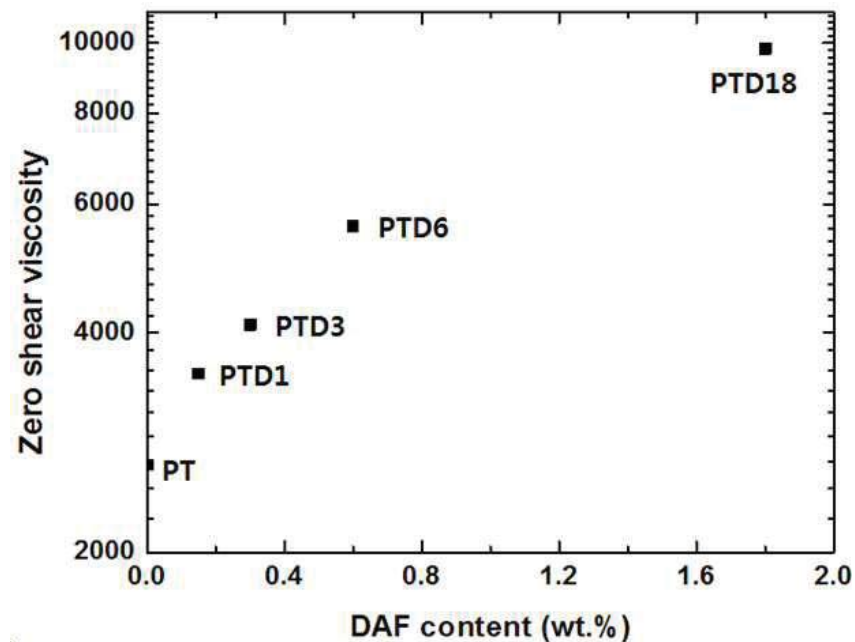
도면8b



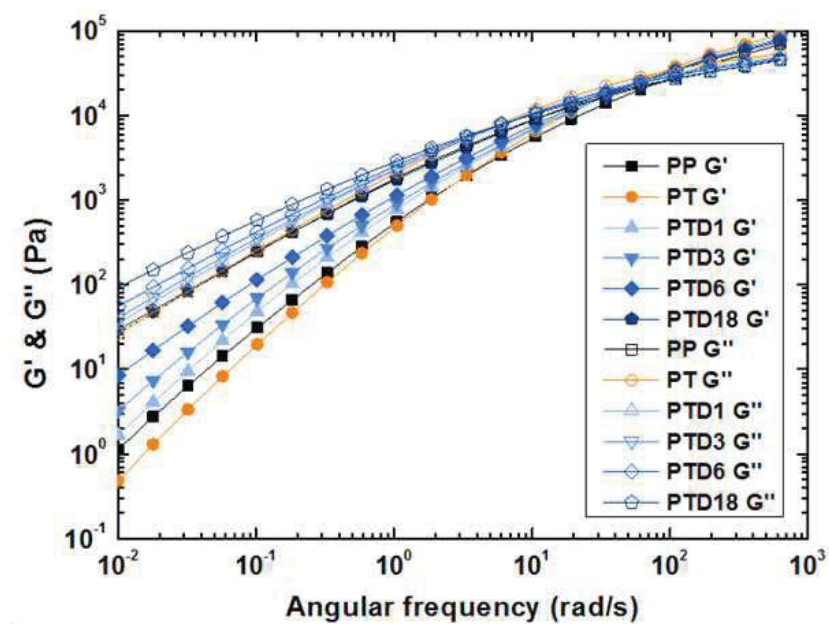
도면9a



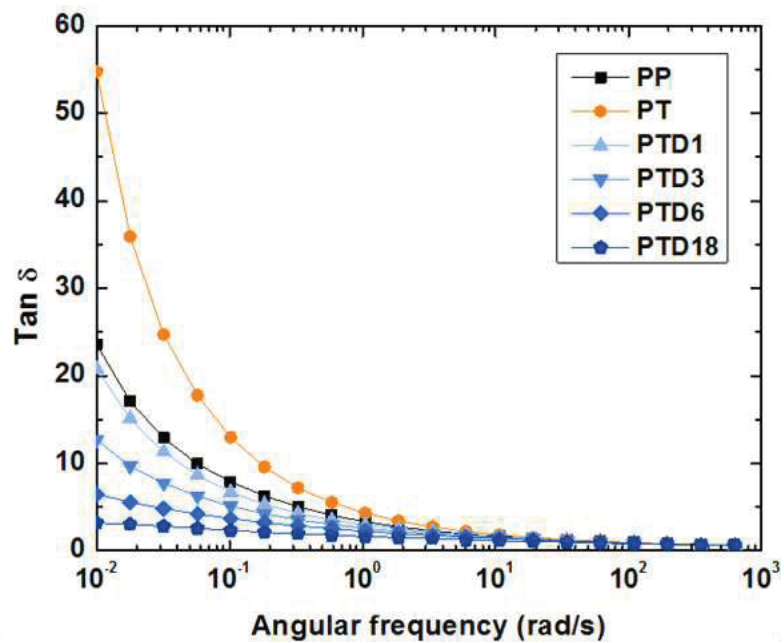
도면9b



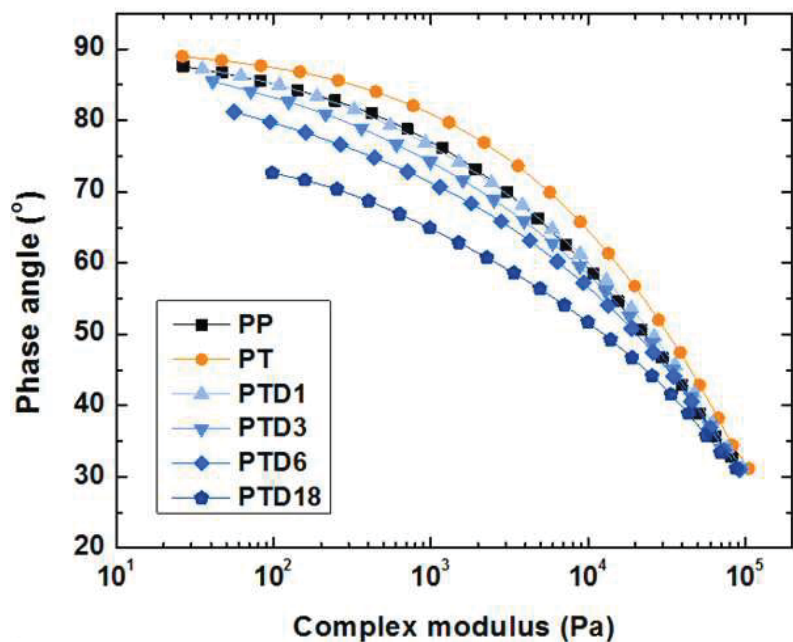
도면9c



도면 10a



도면 10b



도면11

